

Figure 3-1 : Grappe de combustible pour le réacteur CANDU

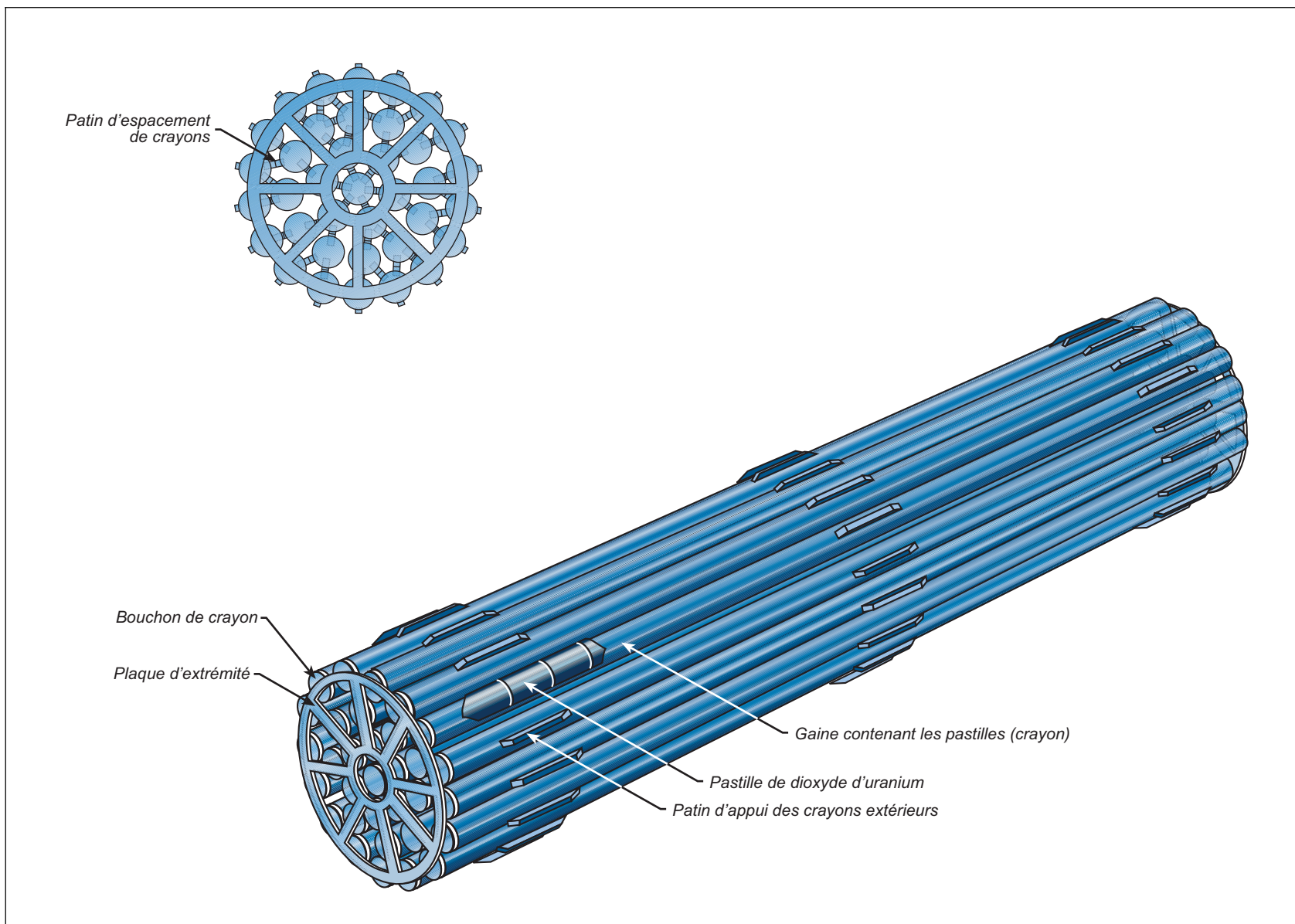


Figure 3-2 : Décroissance de la radioactivité et de la chaleur résiduelle d'une grappe type de combustible irradié après son retrait du réacteur

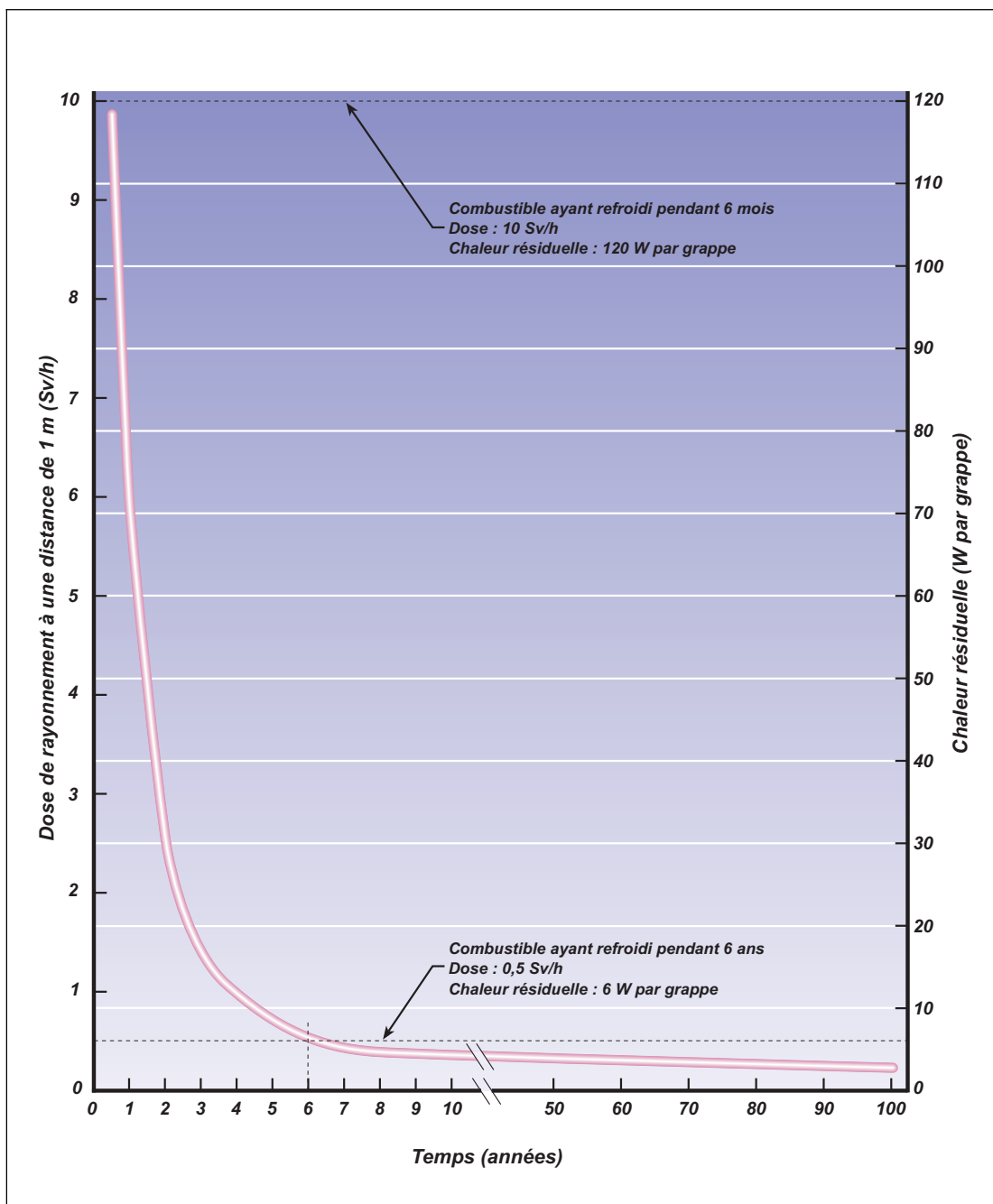


Figure 3-3 : Principaux composants du réacteur

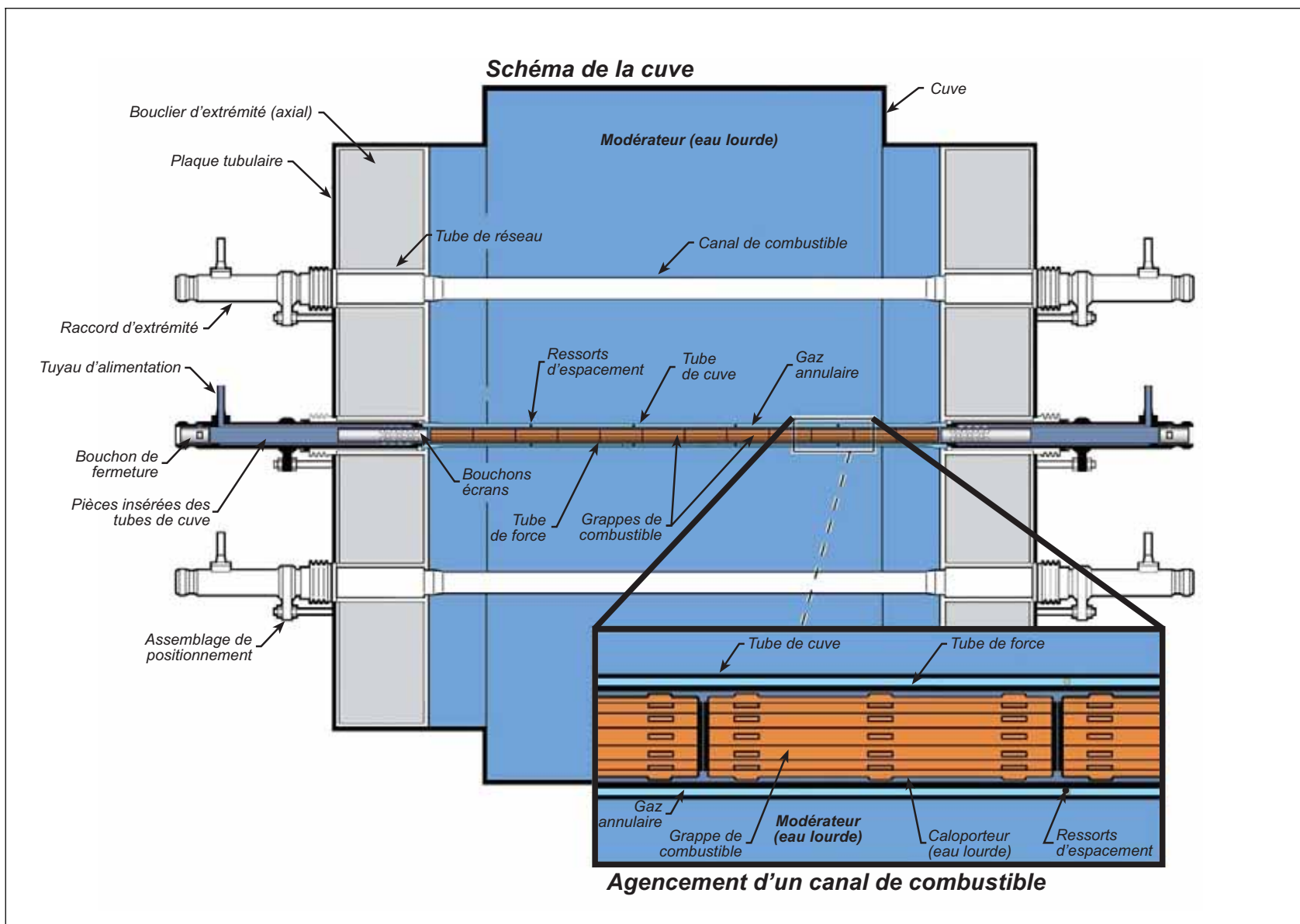


Figure 3-4 : Diagramme de gestion des déchets radioactifs de réfection

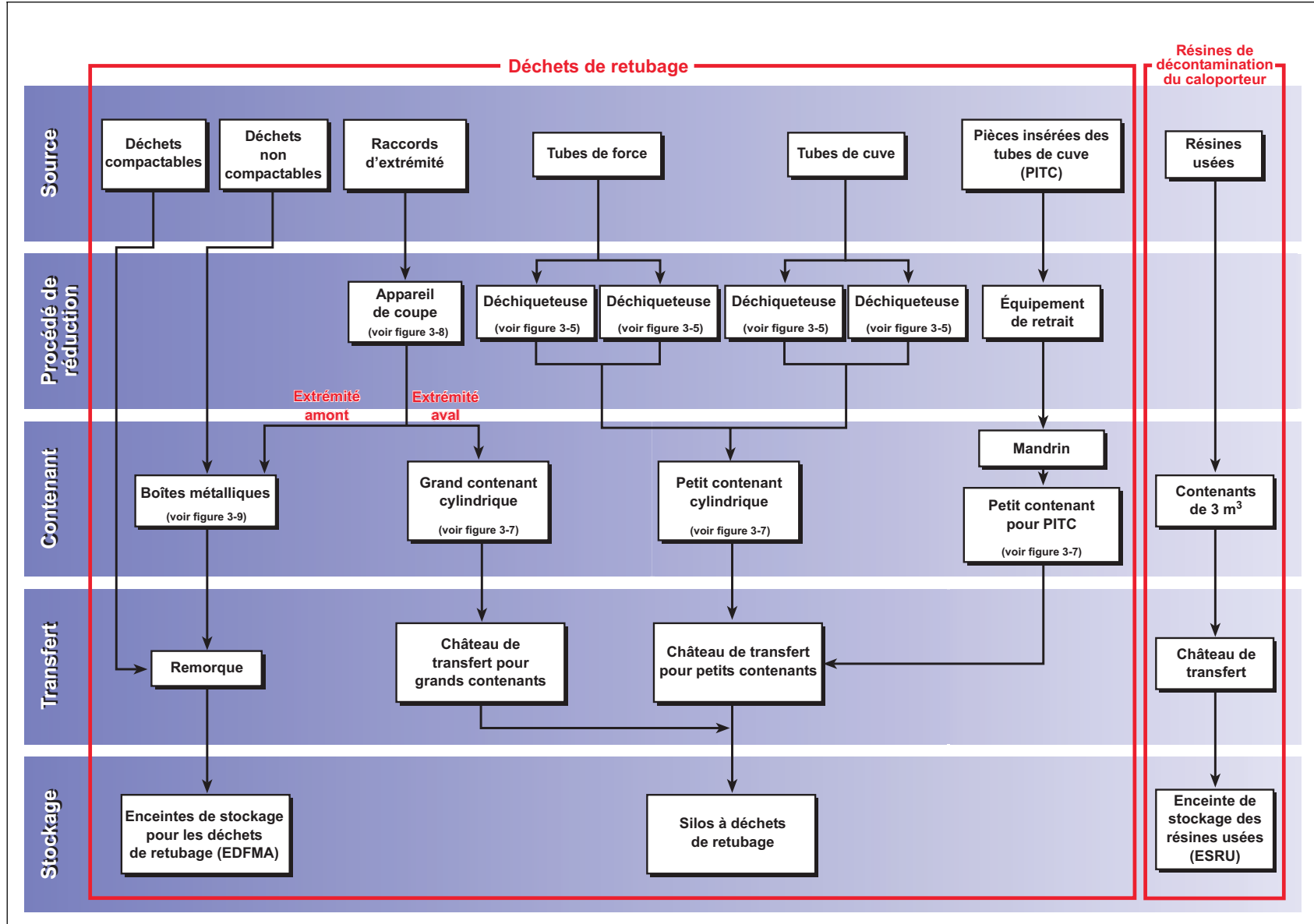


Figure 3-5 : Déchiqueteuse de tubes de force et de cuve

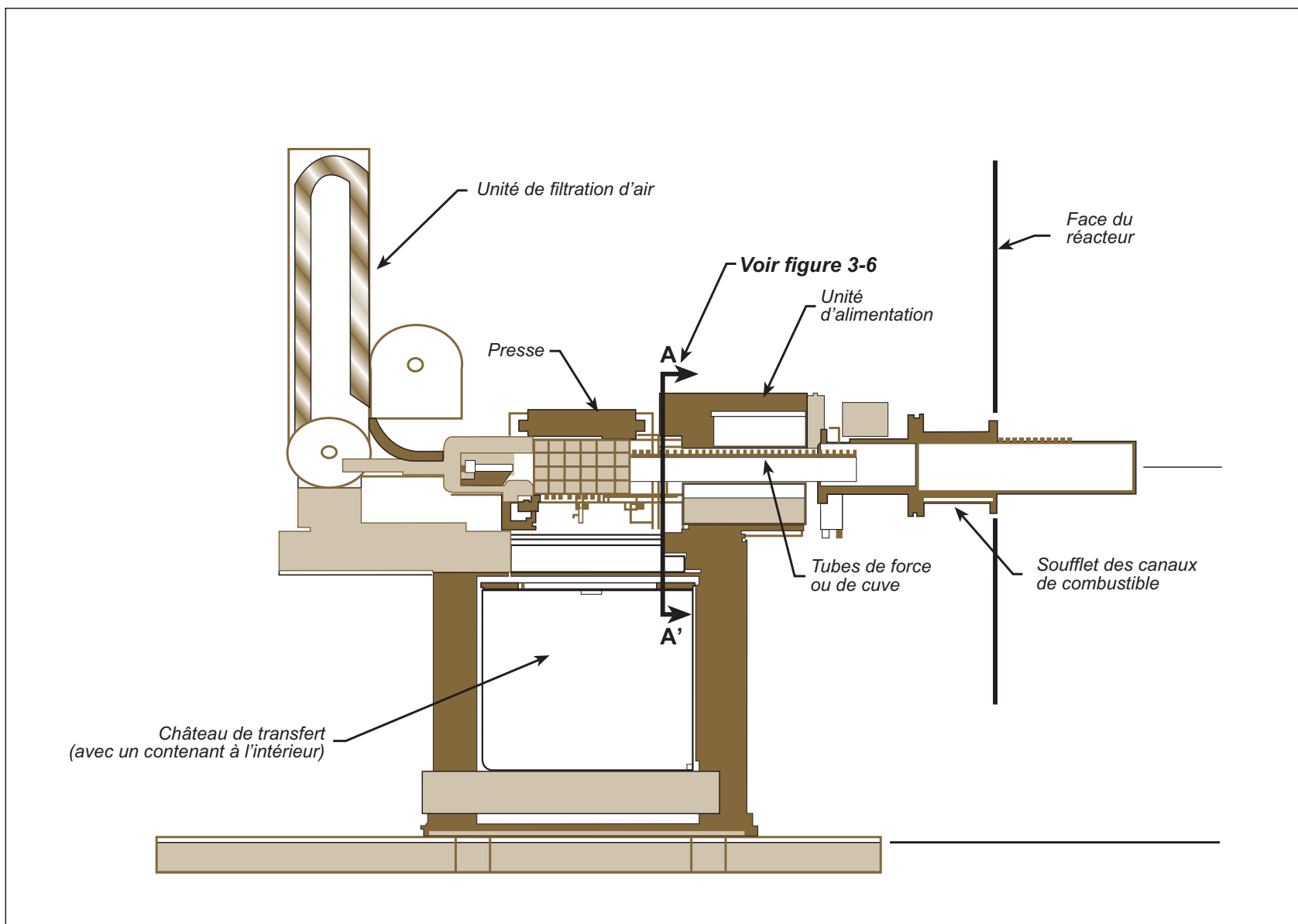


Figure 3-6 : Timbres résultant du déchetage des tubes de force ou de cuve

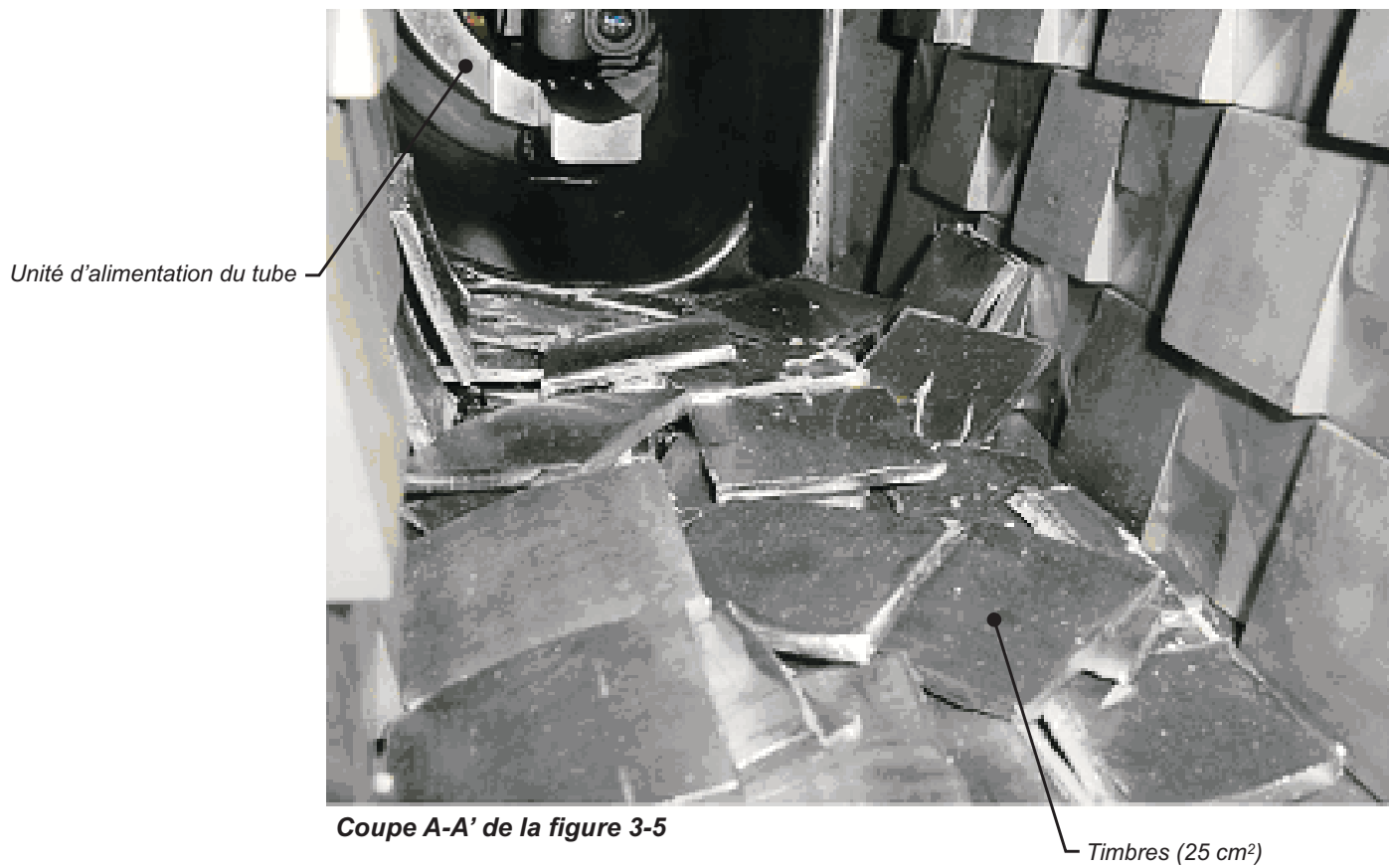
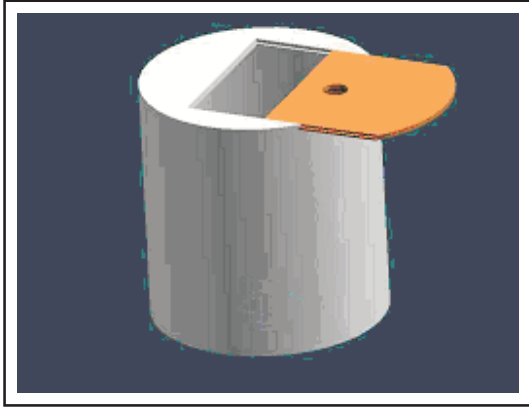


Figure 3-7 : Contenants cylindriques pour le stockage des déchets de retubage



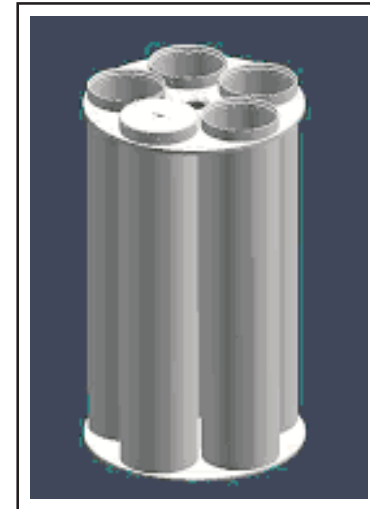
Petit contenant cylindrique pour les tubes de force et de cuve déchiquetés (timbres)

Hauteur : 63,5 cm
Diamètre : 61,0 cm



Petit contenant pour les pièces insérées des tubes de cuve (PITC)

Hauteur : 63,5 cm
Diamètre : 61,0 cm



Grand contenant cylindrique pour les raccords d'extrémité

Hauteur : 105,0 cm
Diamètre : 61,0 cm

Figure 3-8 : Appareil de coupe type



Figure 3-9 : Boîte métallique pour le transfert et le stockage des déchets non compactables de faible et de moyenne activité résultant du retubage



Figure 3-10 : Distribution des températures dans un module CANSTOR et un silo

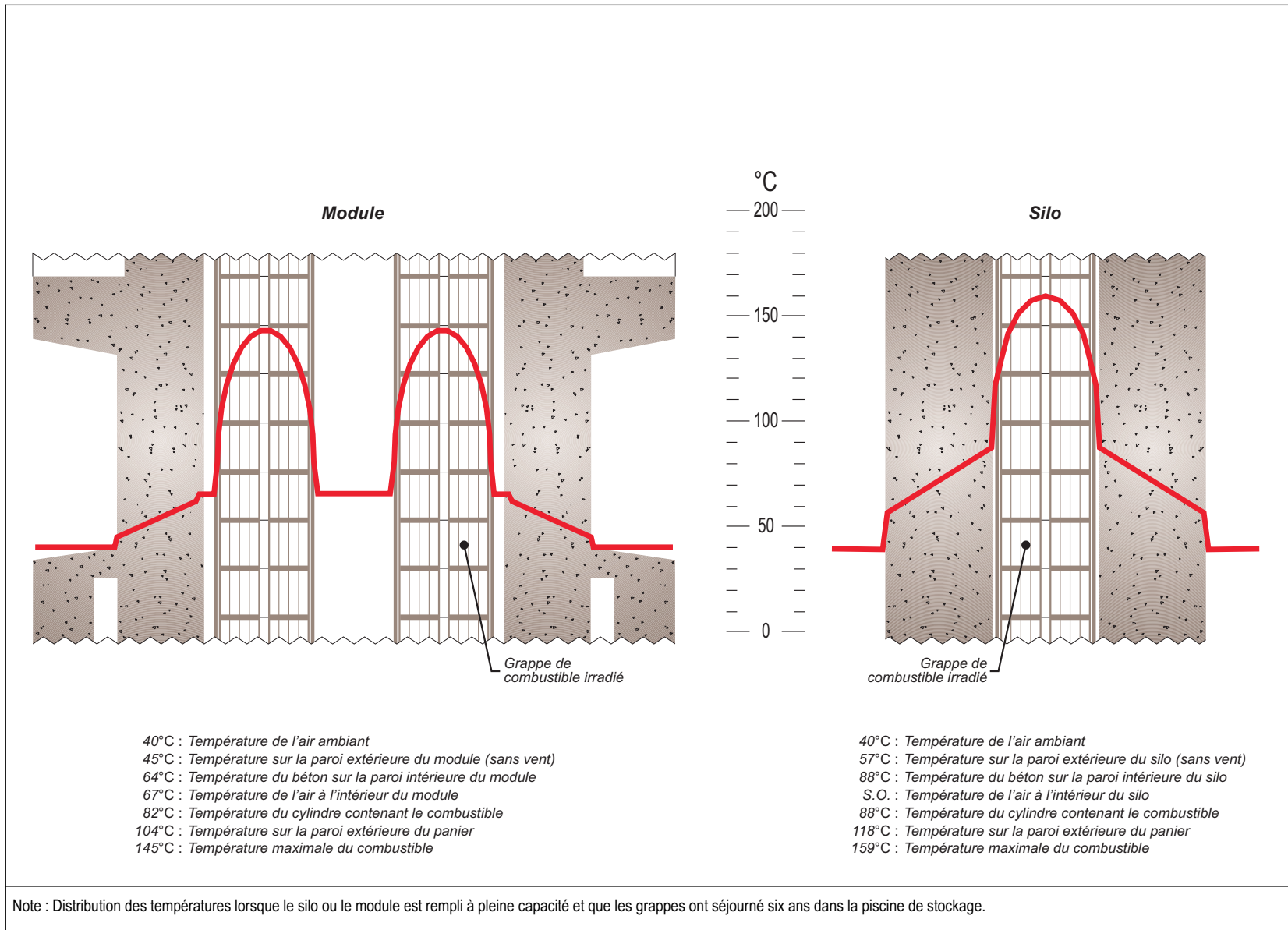


Figure 3-11 : Enceinte de stockage des déchets compactables et non compactables (type 1A)

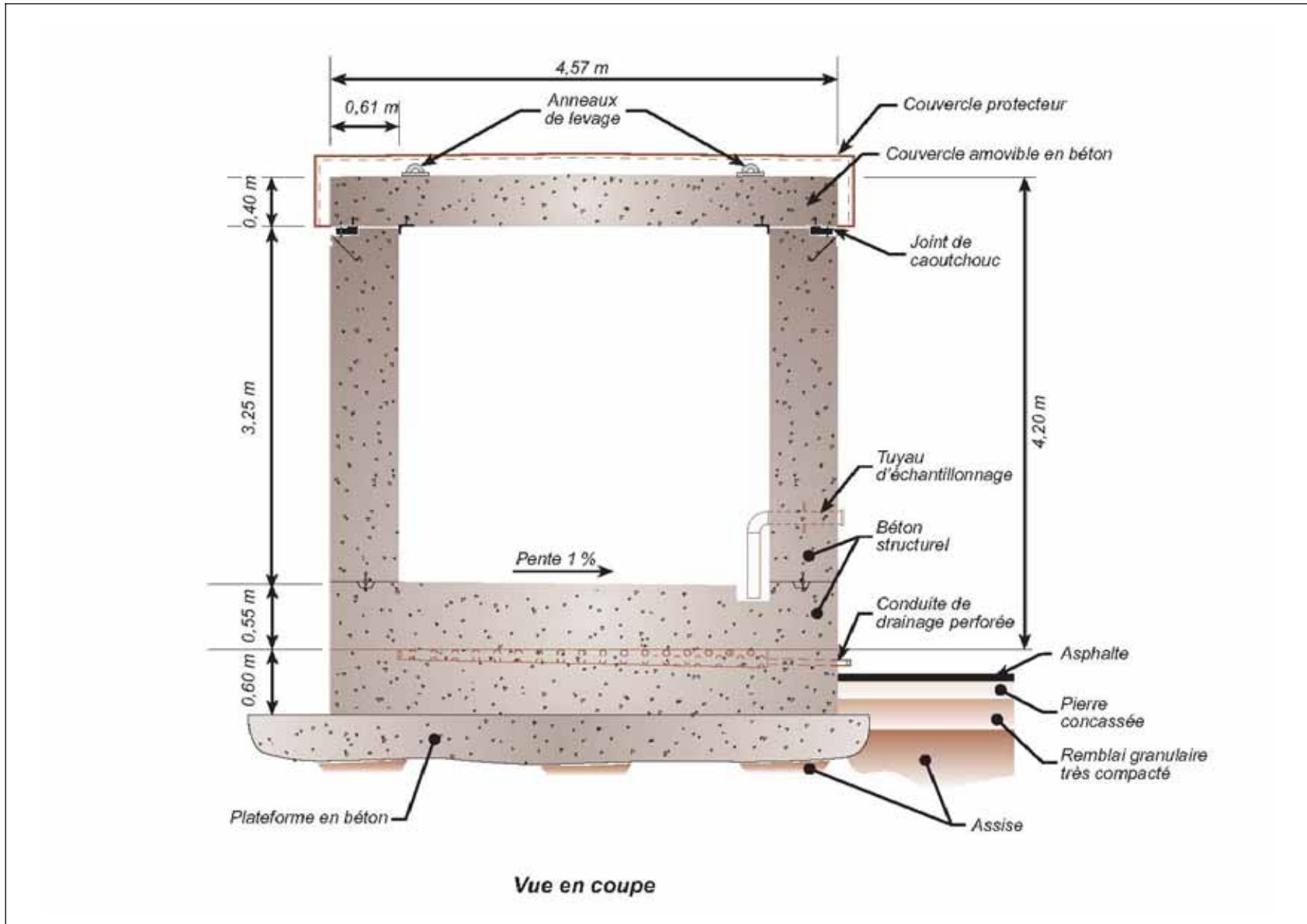


Figure 3-12 : Fosse à déchets de faible et de moyenne activité (type B)

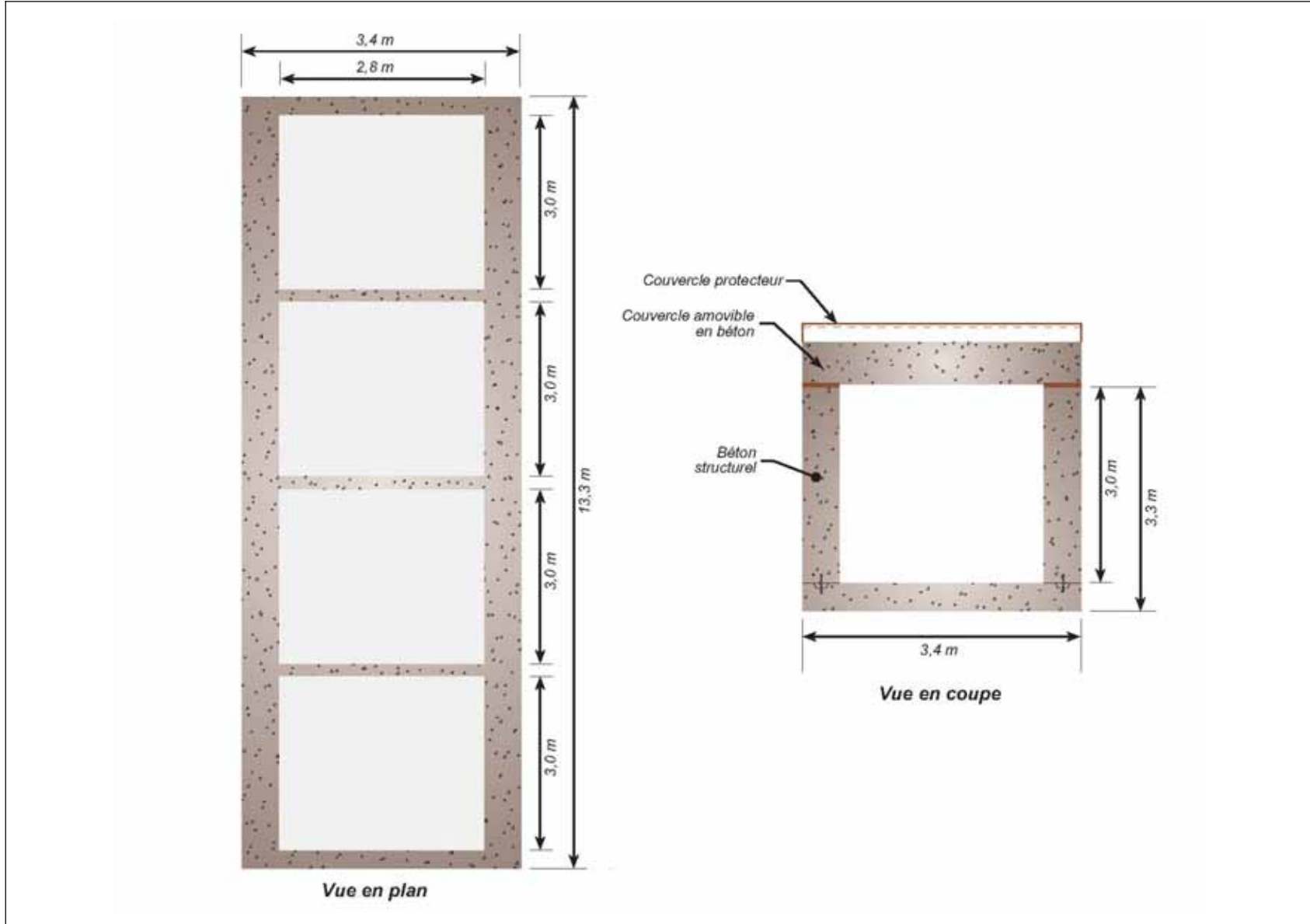


Figure 3-13 : Fosse à déchets de faible et de moyenne activité (type C)

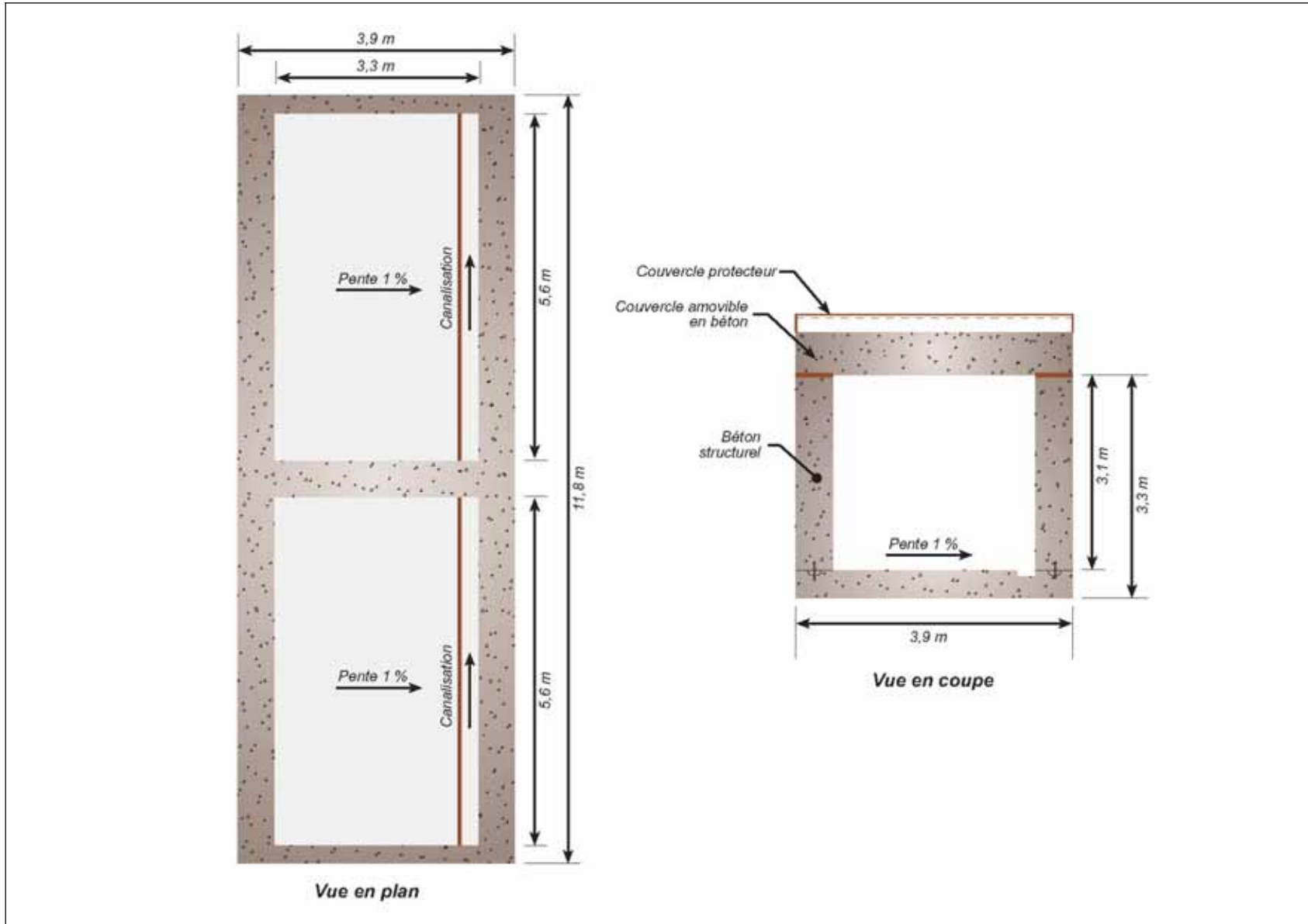


Figure 3-14 : Bâtiment de stockage des déchets faiblement radioactifs

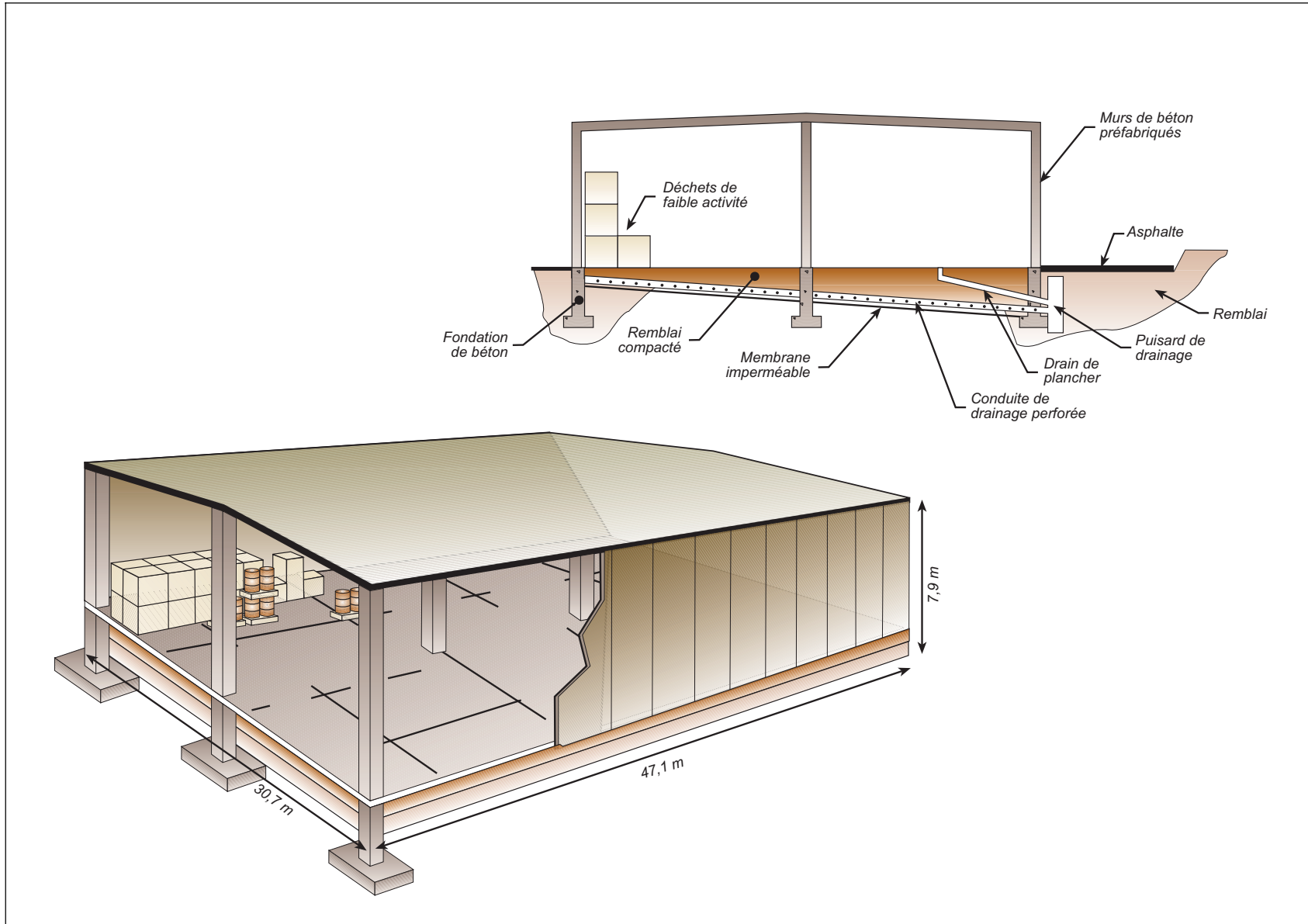


Figure 3-15 : Enceinte de stockage des filtres usagés (type A)

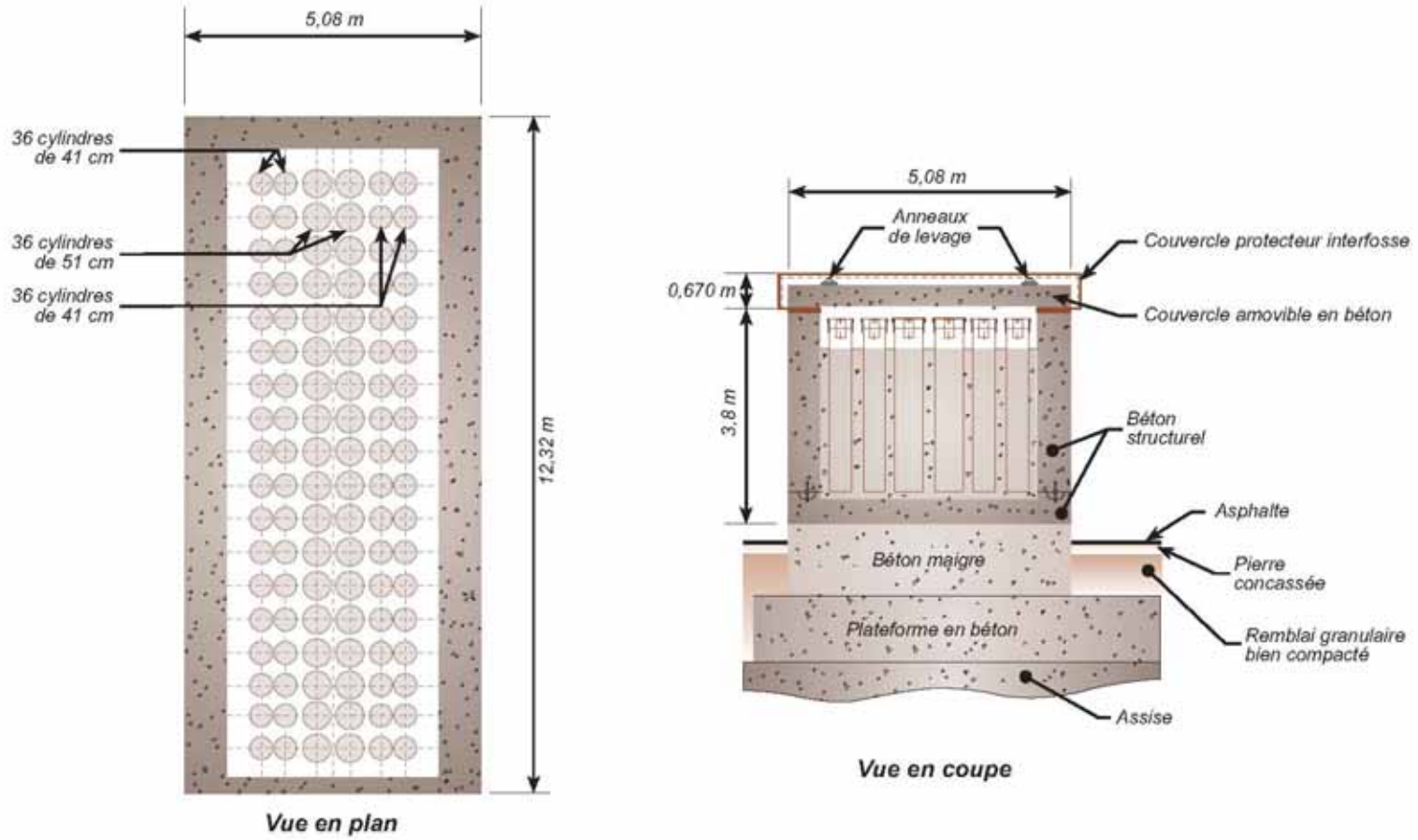


Figure 3-16 : Fosse souterraine IC-18

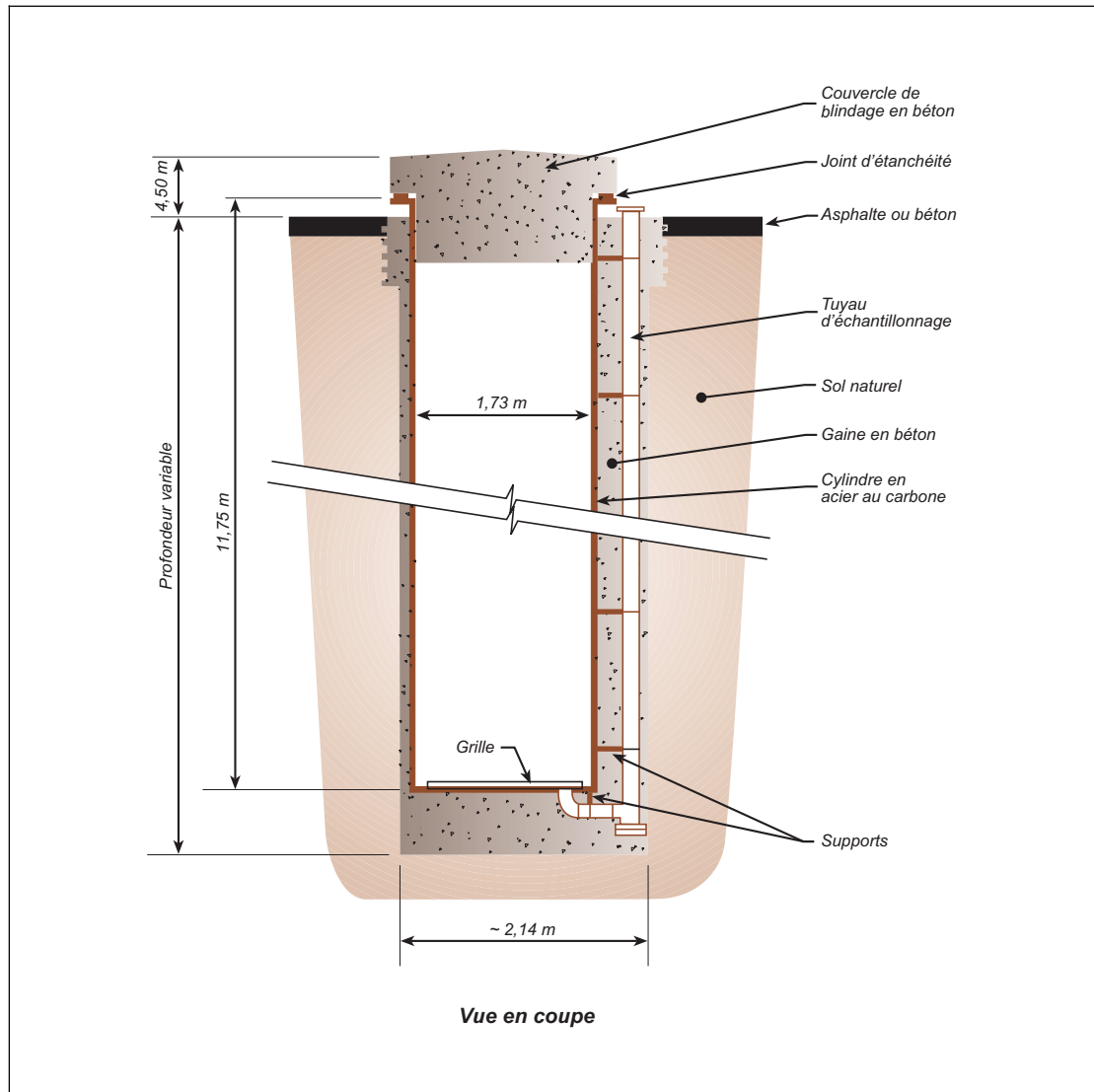


Figure 3-17 : Silo à déchets de retubage

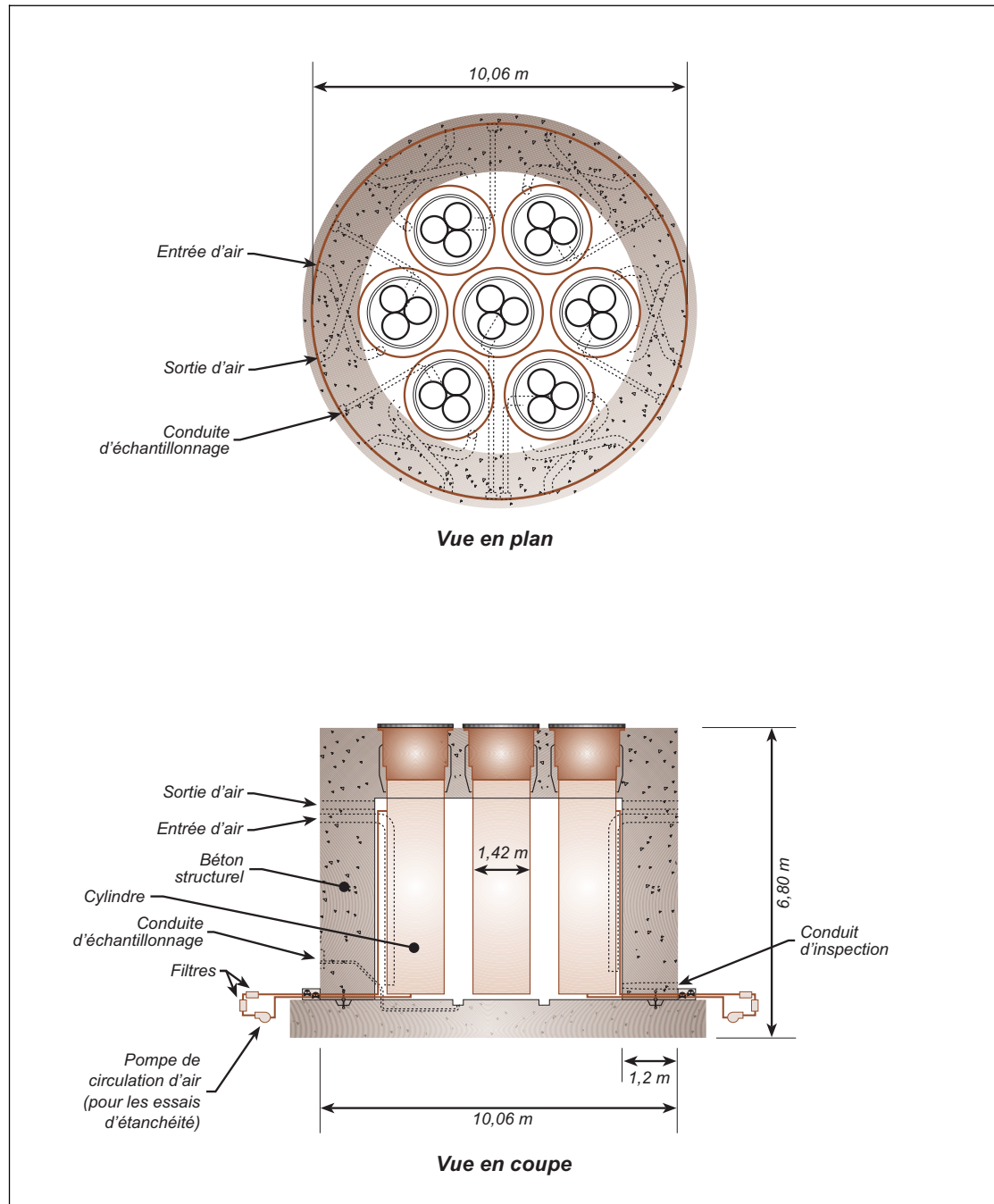


Figure 3-18 : Enceinte de stockage des déchets de faible et de moyenne activité (EDFMA)

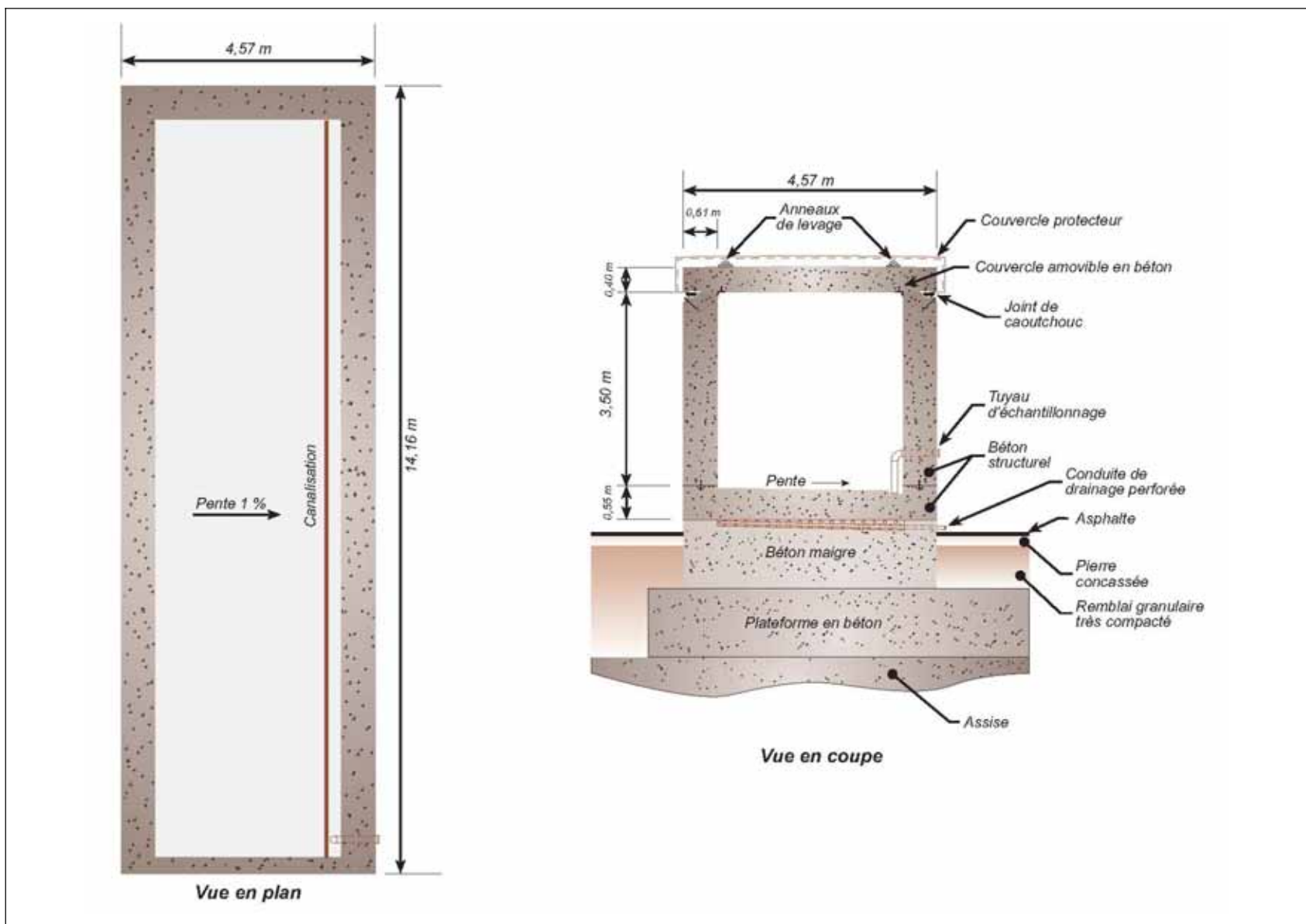


Figure 3-19 : Bunker à déchets solides métalliques

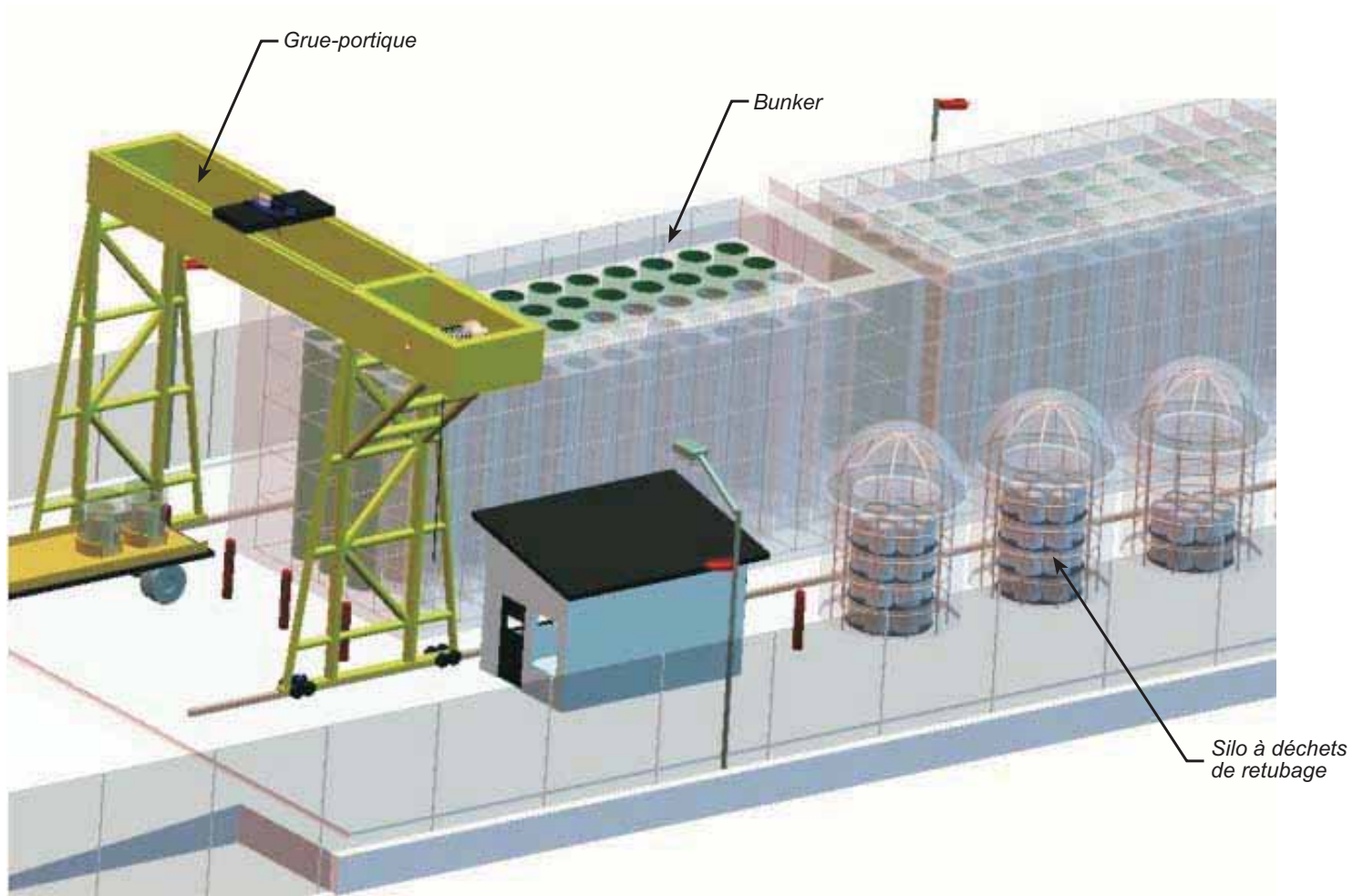


Figure 3-20 : Quadricellule pour le stockage des déchets de haute activité

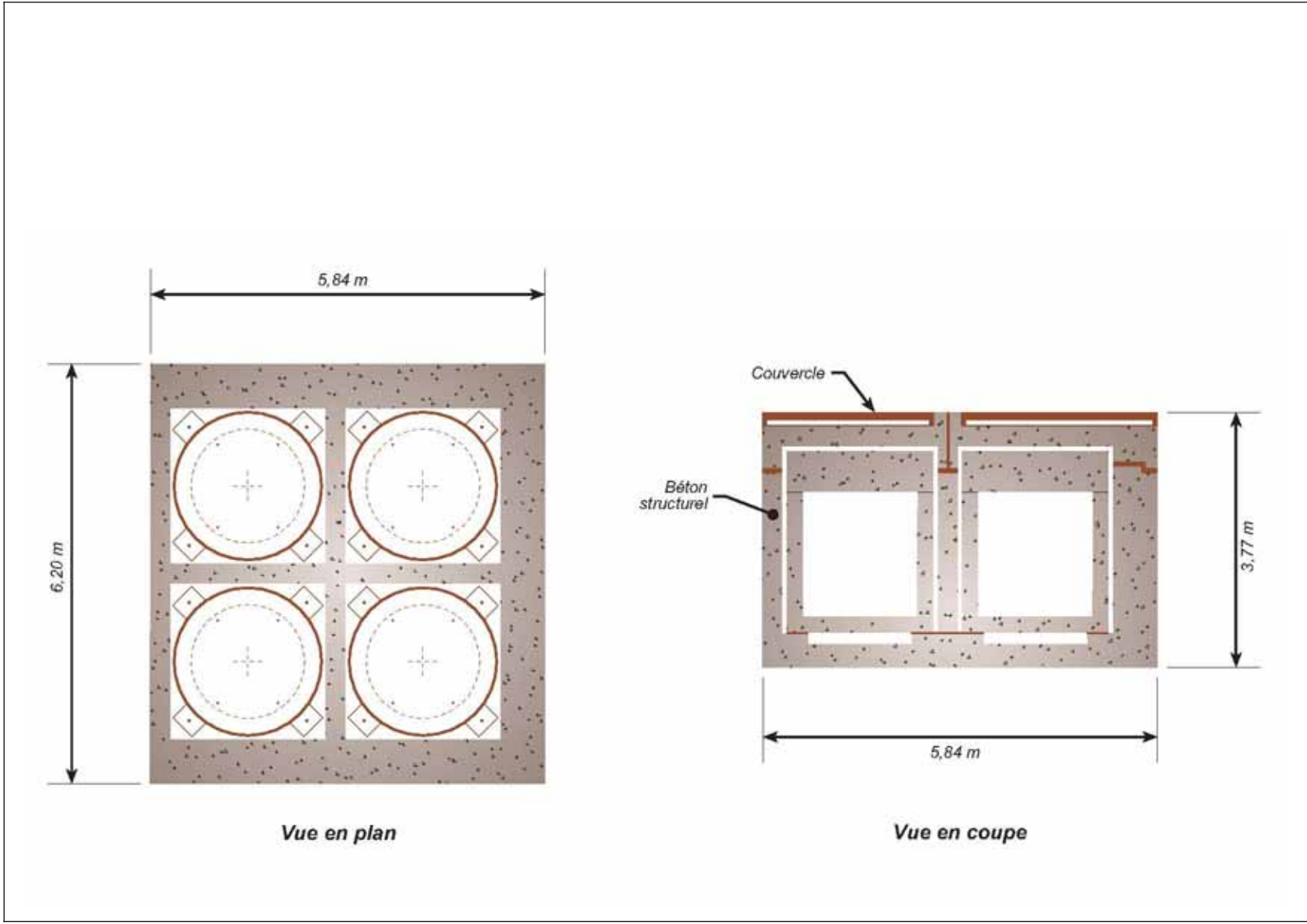


Figure 3-21 : Décacellule pour le stockage des résines usées

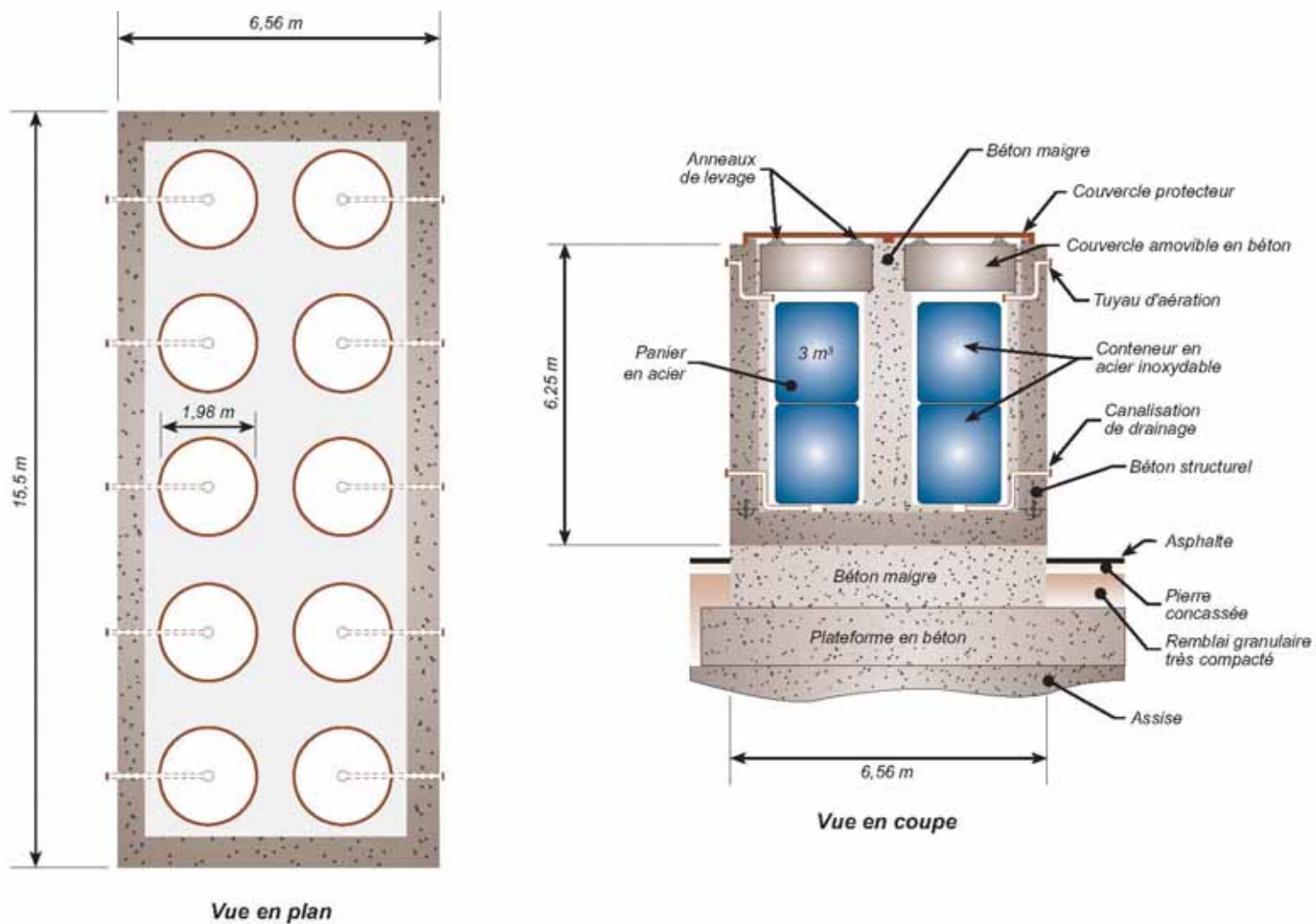


Figure 3-22 : Enceinte de stockage des résines usées (ESRU)

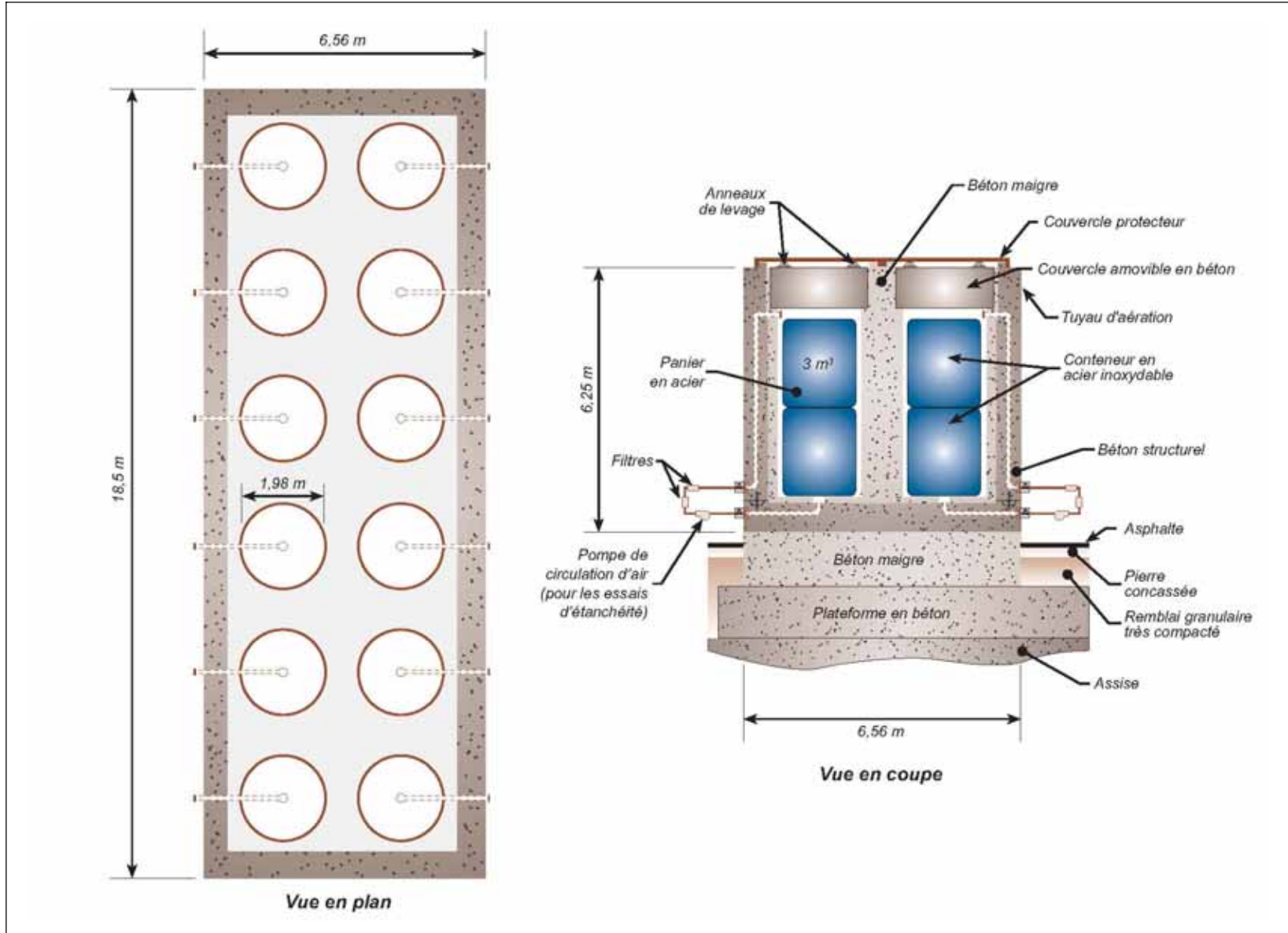


Figure 3-23 : Aires de stockage étudiées

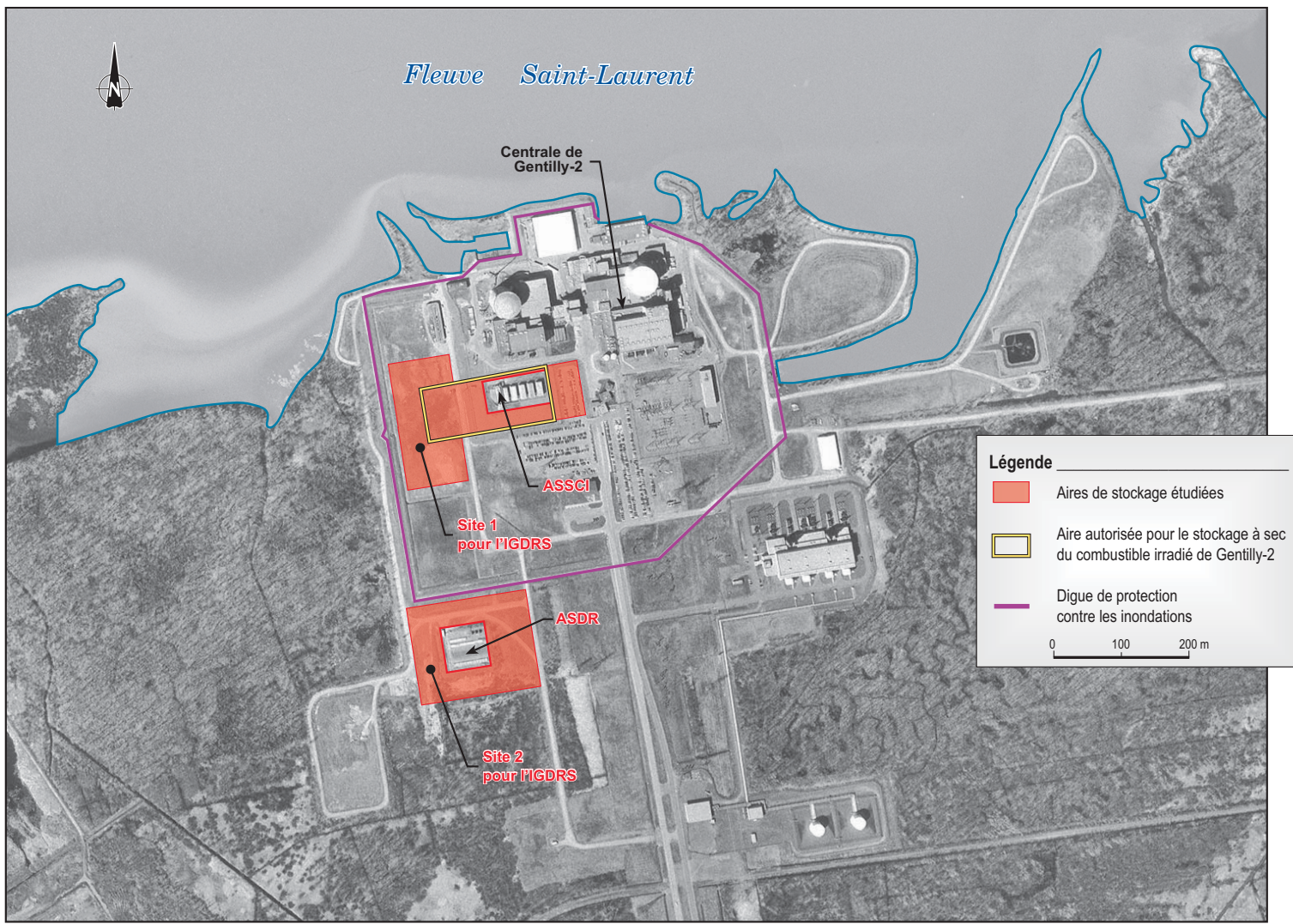


Figure 3-24 : Vue simulée des aires de stockage en 2042 (IGDRS et ASSCI, sans réfection de la centrale)



Figure 3-25 : Coupe partielle de l'ASSCI et d'un module CANSTOR

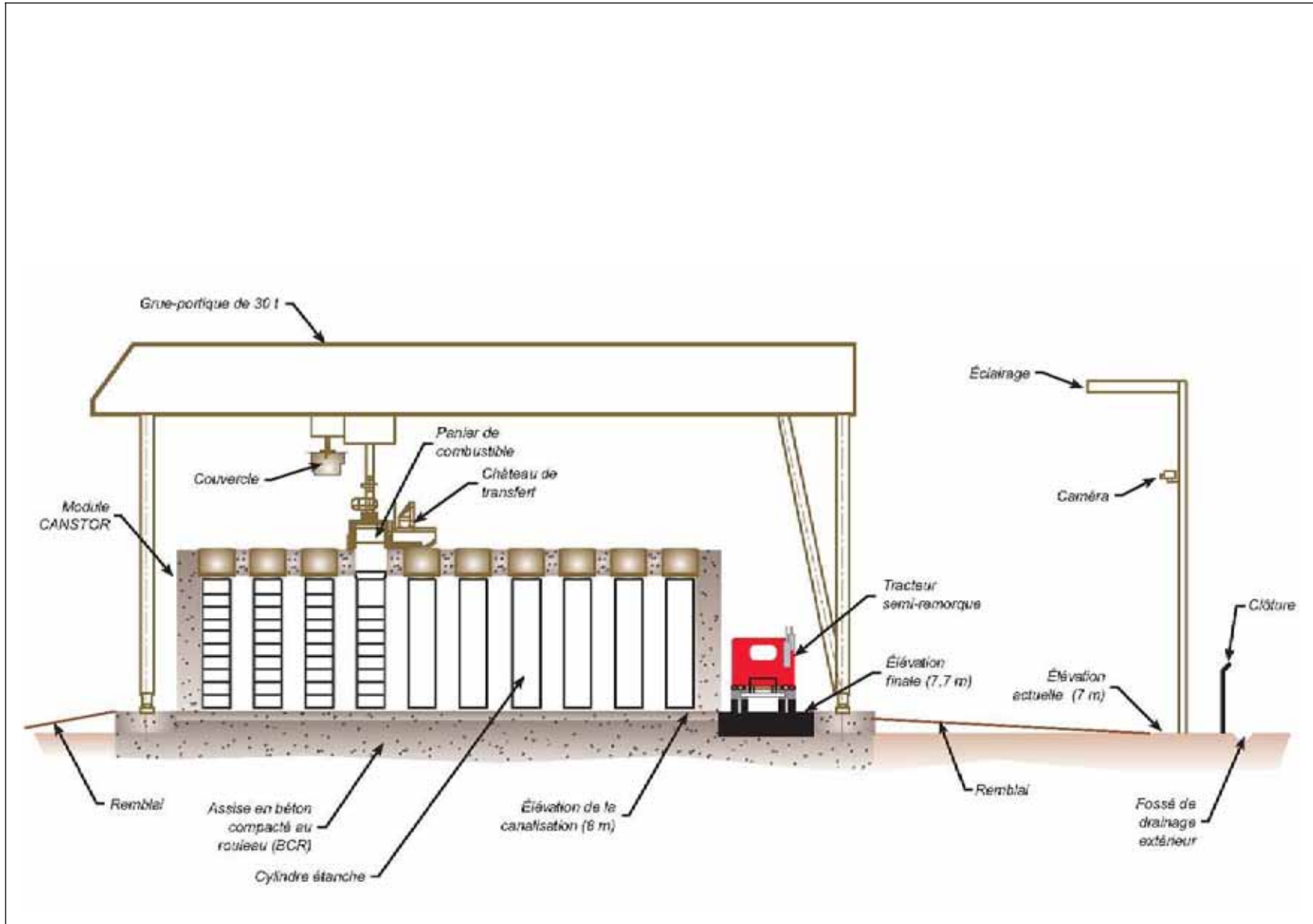


Figure 3-26 : Module CANSTOR

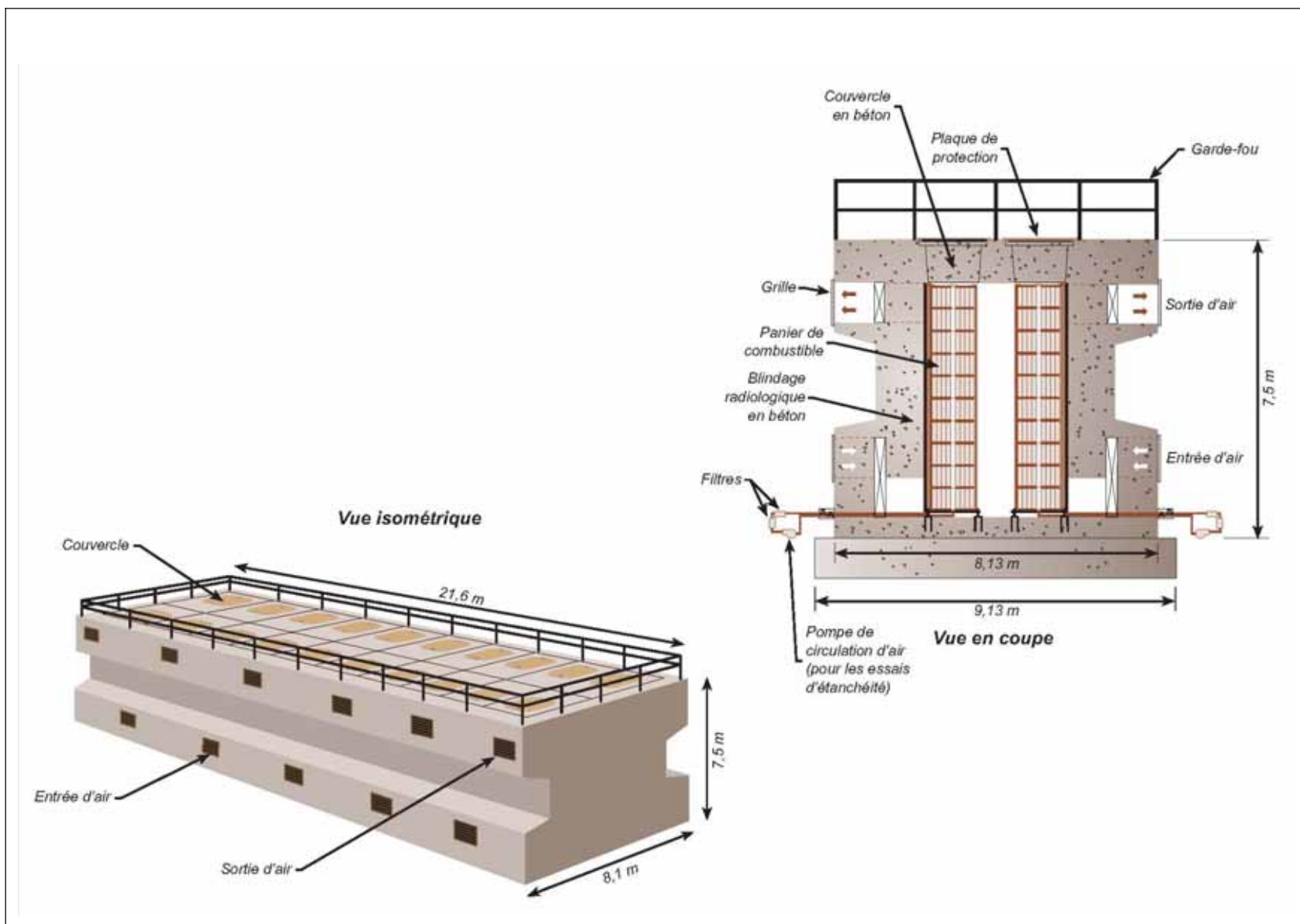


Figure 3-27 : Silo de type EACL

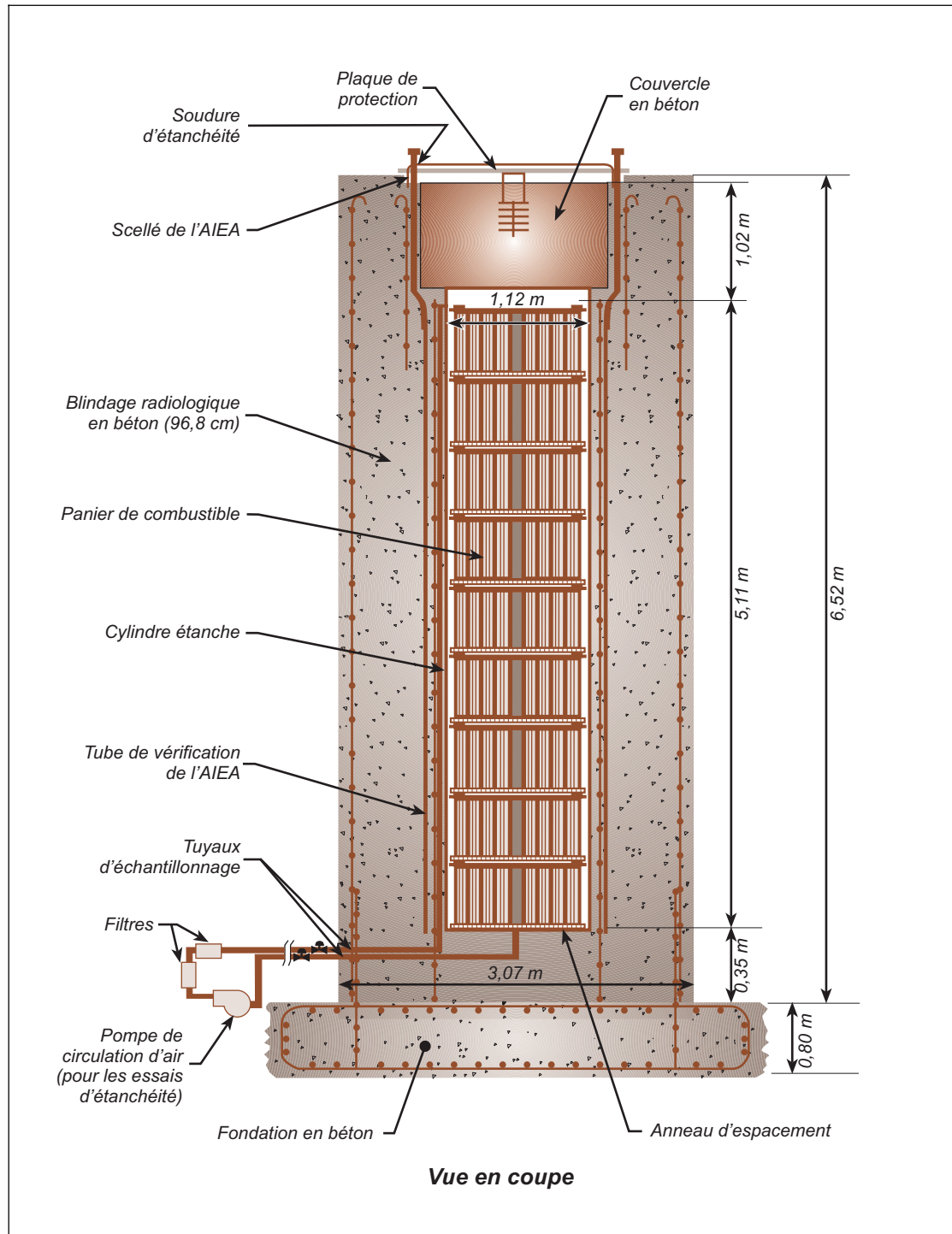


Figure 3-28 : Panier de stockage à sec du combustible irradié

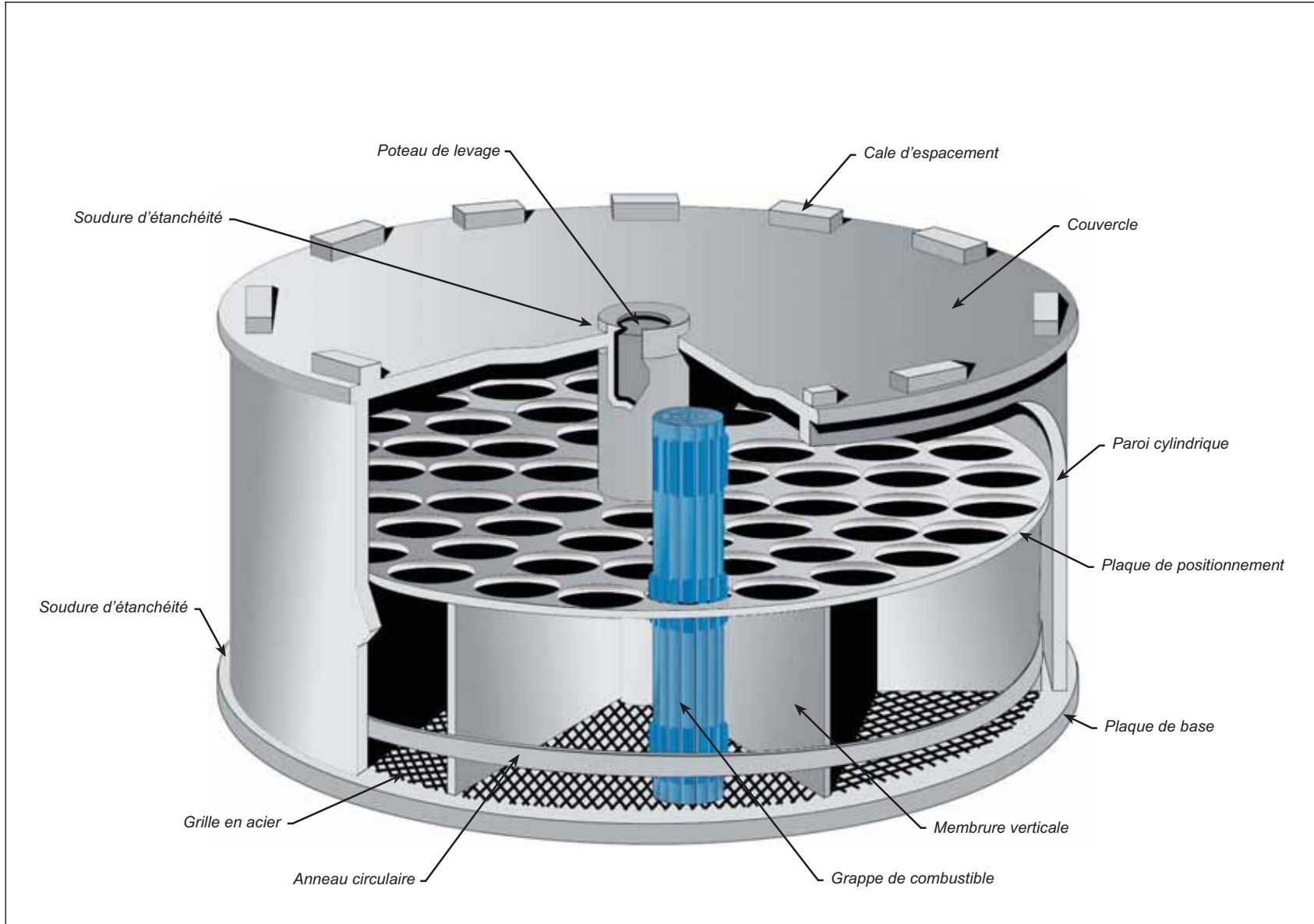


Figure 3-29 : Château de transfert de panier de combustible irradié

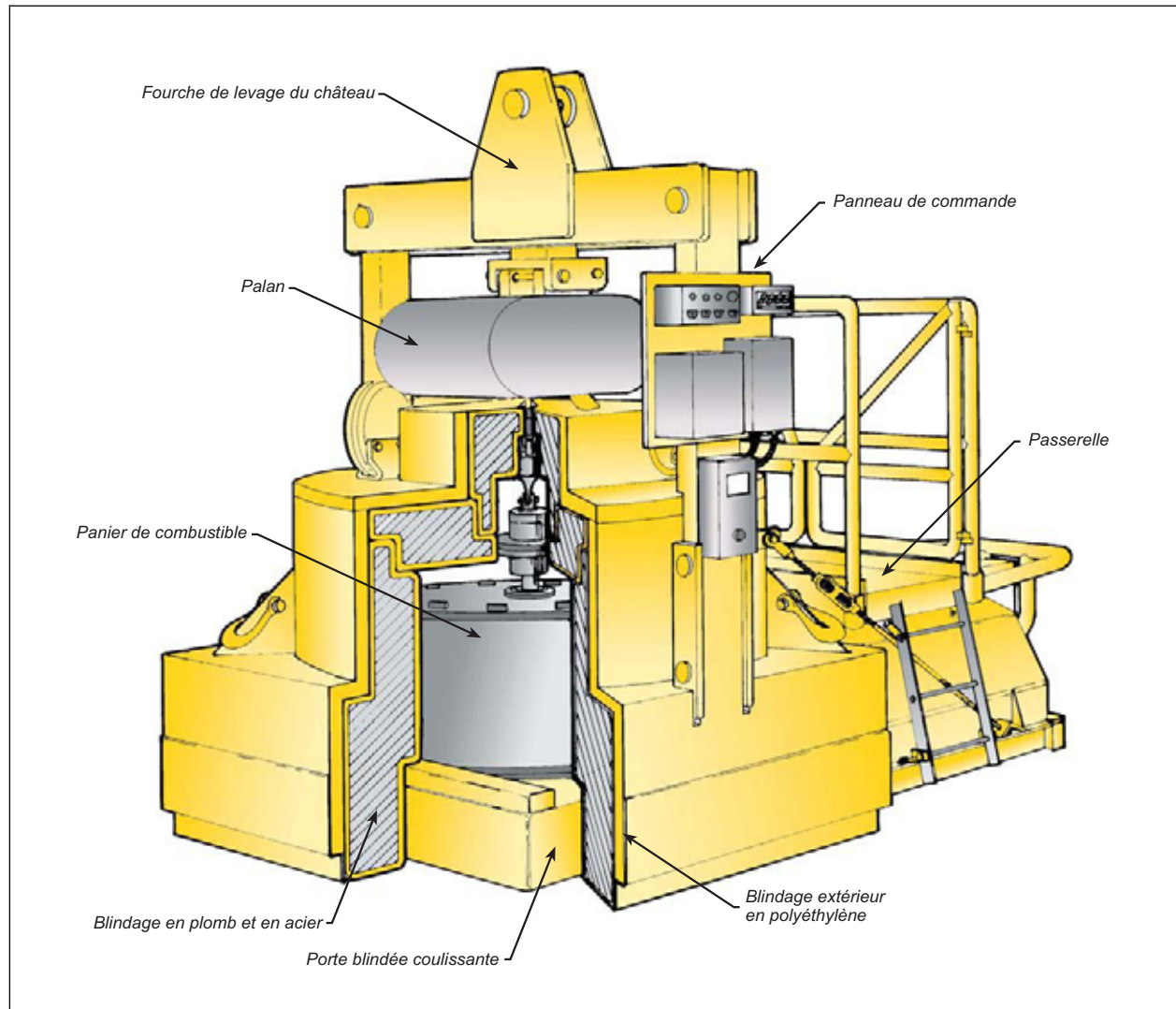


Figure 3-30 : Vue simulée des aires de stockage en 2042 (IGDRS et ASSCI, avec réfection de la centrale)



Figure 3-31 : Agencement type des unités de stockage projetées à l'ASSCI et à l'IGDRS

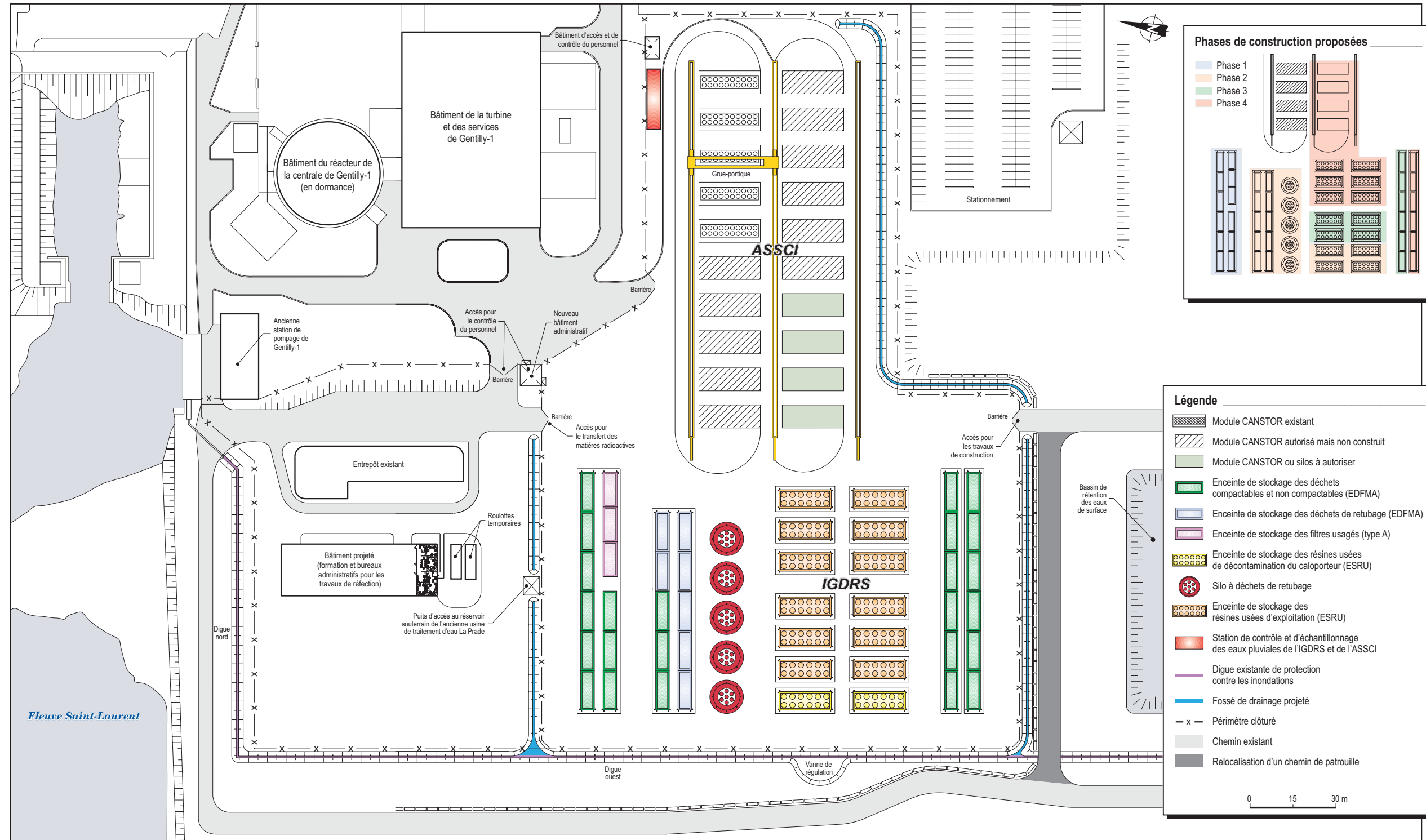


Figure 3-32 : Distribution des températures dans un silo à déchets de retubage

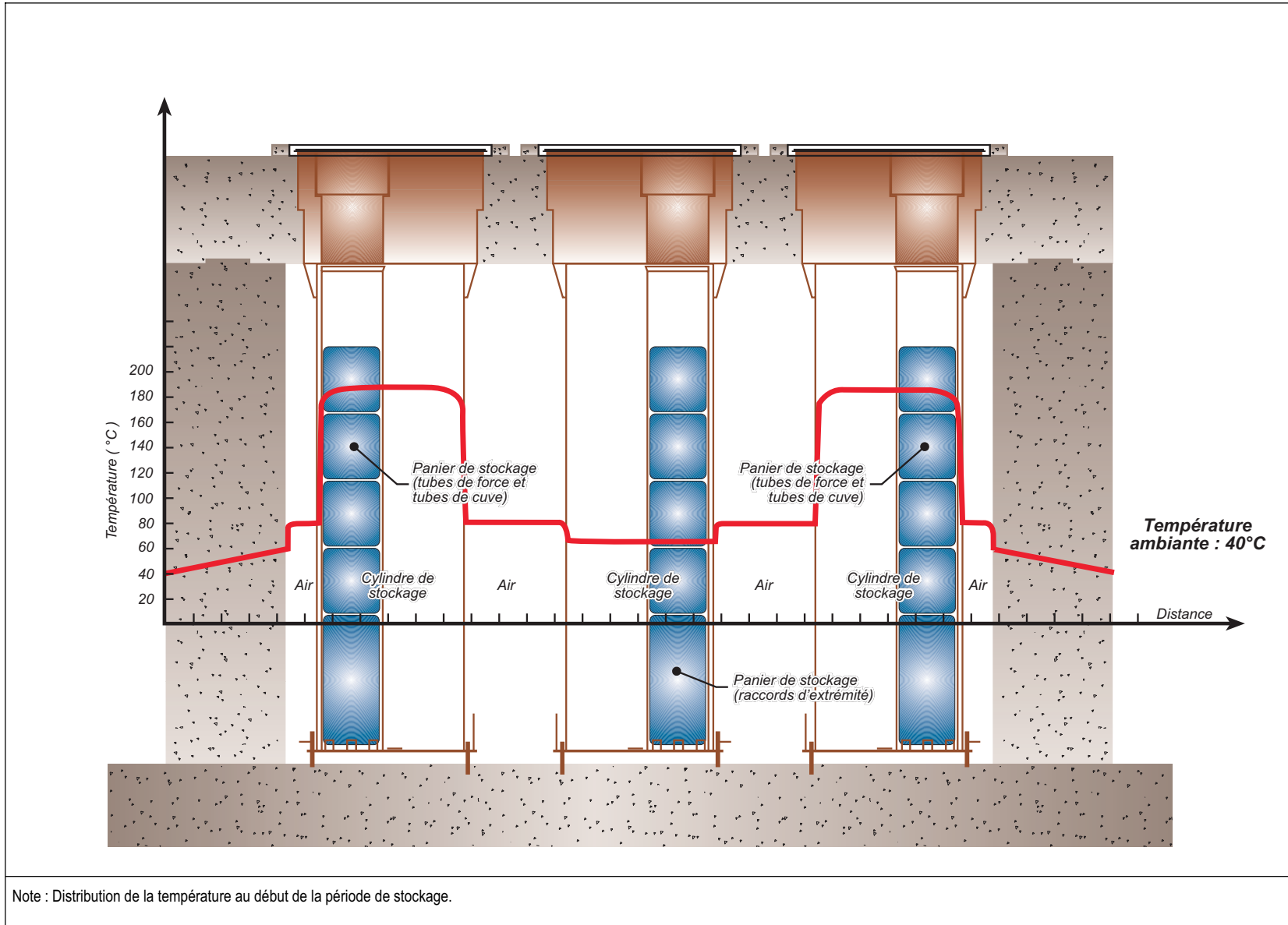


Figure 3-33 : Diagramme de gestion des déchets radioactifs solides résultant de la poursuite de l'exploitation de la centrale

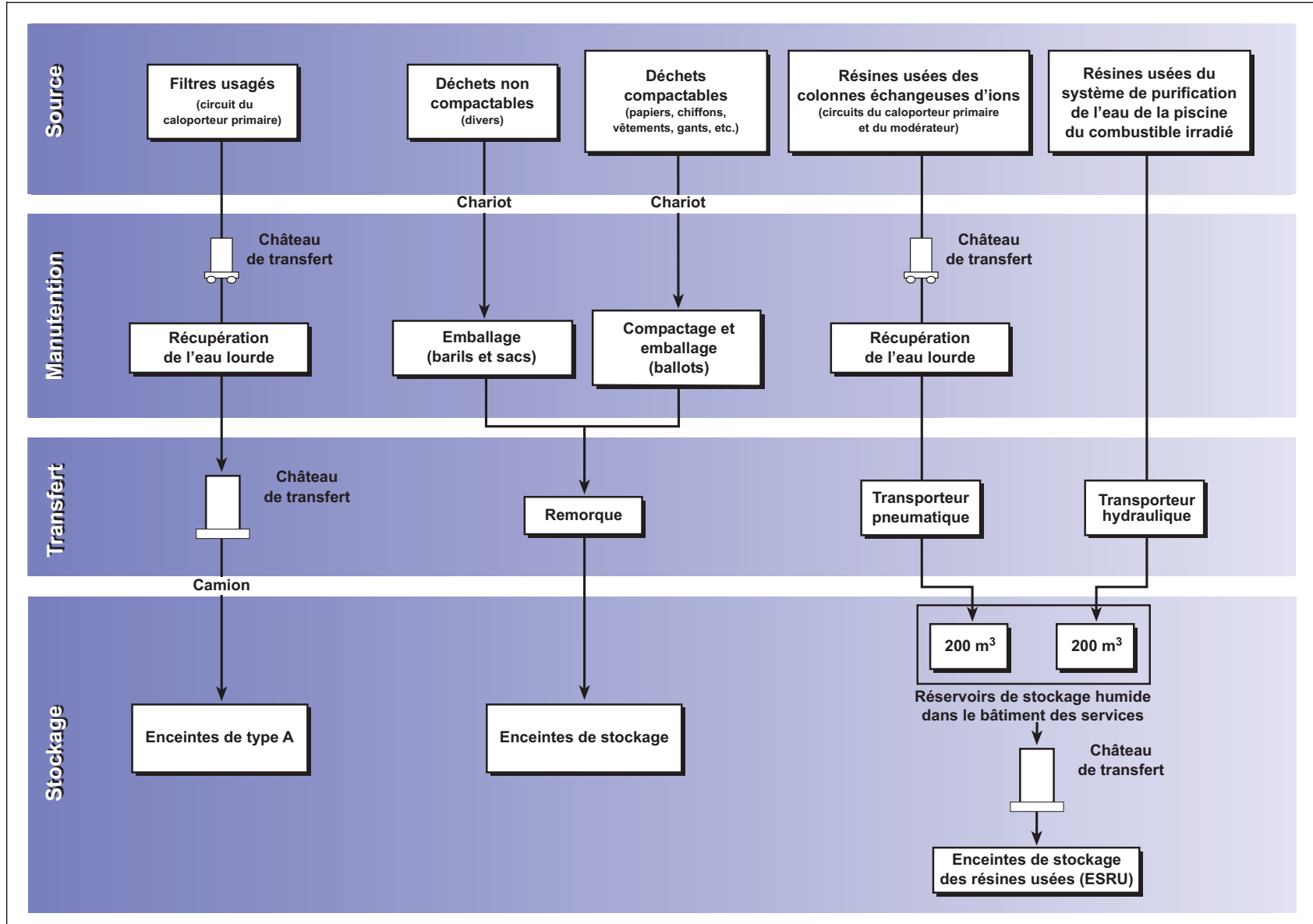
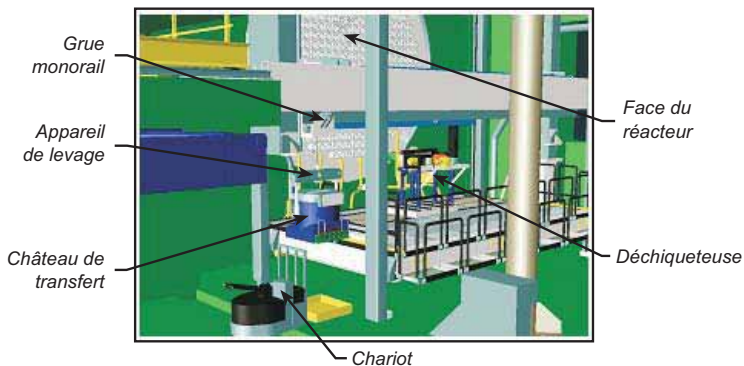


Figure 3-34 : Opérations de transfert des déchets de retubage du bâtiment du réacteur vers un silo

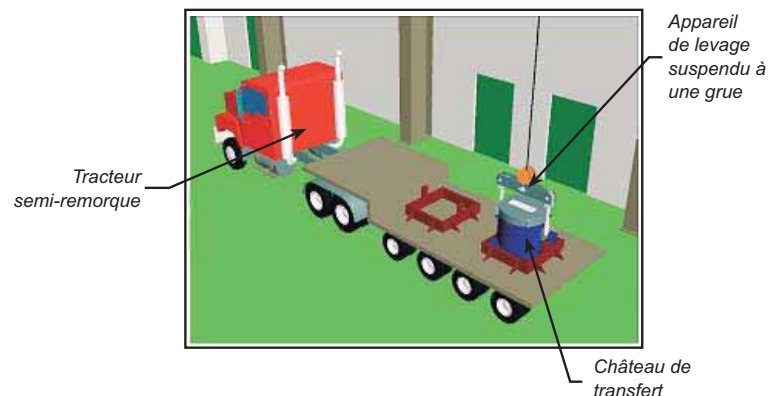
Étape 1 :

Production de déchets au bâtiment du réacteur



Étape 2 :

Chargement du véhicule de transfert au bâtiment des services



Étape 3 :

Déchargement des châteaux de transfert à l'IGDRS



Étape 4 :

Dépôt d'un contenant de déchets à l'intérieur d'un cylindre

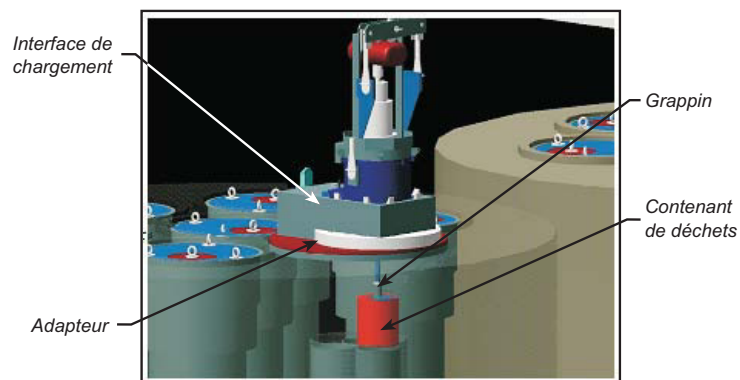


Figure 3-35 : Calendrier des différentes phases du projet

